黄腐酸钠针剂改口服后疗效观察比较

朱新生 刘志发 郭秀芳 (中国人民解放军海军总医院)

应临床要求,制剂室把原来0.25%黄腐酸钠针剂改为瓶装口服,并与消化内科协作进行了289例疗效观察,进行此项观察的目的是。一、不改变用药剂量,将黄腐酸钠针剂和黄腐酸钠口服液进行疗效对照;二、将0.25%黄腐酸钠口服液与20%总腐植酸钠溶液做疗效对照。三、观察各药品应用中的不良反应。

一、治疗方案

289例临病床人均经 过資胃镜证 实 为胃、十二指肠球部溃疡,其中十二指肠球部溃疡,其中十二指肠球部溃疡为205例,胃溃疡84例,住院病人中 男251例,女38例,年龄18—6 2岁,平均年龄37.5岁。溃疡大小为 1.025±0.54cm。用量用法: 0.25%黄腐酸钠10—15ml,一天三次,治疗期间不接受其它任何药物,尤其绝对禁用抗酸药和抗胆硷药,详细记录病人疼痛的缓解情况和药物的不良反应,同时检查的项目还包括血常规、尿常规、血肌酐及肝功能。

二、疗效判定

临床观察的所有病人,均在完成黄腐酸

的治疗四周后三天内做完胃镜复查。溃疡愈合的标准为, →、全愈, 溃疡面完全消失, 形成瘢痕, 血象正常, 病人自觉症状消失。 二、显效, 溃疡面积缩小≥50%, 部分形成瘢痕, 自觉症状基本消失。三、有效, 溃疡面部分愈合, 开始形成瘢痕, 病人自觉症状 面部分愈合, 无效, 溃疡面积无明 显缩小, 自觉症状无明显减轻。

三、治疗结果及分析讨论

溃疡愈合率: 经治疗四周后, 289例中有191例溃疡愈合占 66.1%, 显效 31 例占10.7%, 有效41例占14.2%, 总有效率占91%, 无效26例, 占6%。

采用X²检验法统计的结果表明。0.25% 黄腐酸的口服液比 2 %总腐植酸钠溶液疗效高29%,0.25% 黄腐酸钠口服液比其原注射剂疗效高8%,同时在黄腐酸钠的临床观察中包括注射和口服只有一例发生轻微的不良反应。

而在2%总腐植酸钠的临床 100 例观察中,口干、便秘、恶心、呕吐、头晕等不良反应高达5%,而总有效率只有62%。

(来源:腐植酸,1994,2:23)

试验研究

福尔酸钠对羟自由基应激不饱和脂酸 及人红细胞的影响

甘述之 (北京海淀医院)

氧自由基引起组织细胞损伤,涉及 60 多种疾病的机制[1.2]。如心、脑、消化系统、肢体等缺血性的损伤,器官移植、断肢再植的失败,癌肿、白内障的形成,以及人体衰老的发展,氧自由基均在其中起着重要作用。故寻求、发掘有效的氧自由基清除剂为医学界的热望。我们曾看到福尔酸制剂在实验动物体内明显的抗氧化作用[3]。它们对毒性强的羟自由基(•OH)是有效的清除剂[4]。本实验目的在于直接观察•OH 攻击不饱和脂酸及人红细胞时,福尔酸钠可能发挥的保护作用。

一、实验材料

福尔酸钠(Sodium fulvate. 简写为SF)为本室从北京风化煤中提取并精制。其它试剂为分析纯商品。人抗凝血来自本院门诊。主要仪器为岛津双光束光度计 UV-150-02。

二、方法

1. 经自由基应激不饱和脂酸试验

参考文献^[5]方法,但用 Fenton 体系 (H₂O₂+Fe²⁺)产生·OH 作应激剂。将亚麻子酸及亚油酸溶于 Tween-80(按 W/W=1·4),加磷酸缓冲盐水(PBS)制成乳剂。其它试剂均用 PBS 配制。对照(CK)反应混合物含亚麻子酸或亚油酸0.3mM,FeSO₄0.1 mM,H₂O₂5mM。实验管(expt)除上述成分

外, 另加福尔酸钠。各组管均设不加 H₂O₂的空白管。总体积 2m1、反应在 37 C 水浴中进行,约 80rpm 持续播 30min。而后检测生成的MDA 量。即各管分别加 20%三氯醋酸 1m1,0.67%硫代巴比妥酸 2m1,播 勾后沸 水浴 30min。取出于凉水中冷却。用 2000rpm 离心10min。取上清液在光度计 532nm 处,以试剂调零点,测 MDA 的光吸收值。从反应管测定值中减去空白值,代表。OH 诱导过氧化而生成的 MDA 光吸收值。表示为 A₅₃₂。福尔酸 的对 A₅₃₂的抑制率(1%) = CK — expt × 100。

2. 羟自由基应激红细胞试验

参考文献^[1-7]方法,但改用 Fenton 试剂。 人抗凝血用生理盐水洗 3次,再悬于含叠氮 钠的 PBS 中。其它试剂亦用 PBS 配制。对照 反应混合物含红细胞、血红蛋白(Ho)量为 1.5%,叠氮钠1mM,FeSO₄0.1mM,H₂O₂5 mM。实验管含上述成分外,另加SF。各组均 设有不加 H₂O₂ 的空白管。总体积 2ml。反应 在 37℃水浴中进行,约 80rpm 持续播 60min。

2.1. 测红细胞在应激中产生的 MDA, 于反应结束时,各管加三氯醋酸、亚砷酸混合 试剂 1m1,2000rpm 离心 10min。 取上清液 2mi 与 1%硫代巴比妥酸 1mi 混匀,沸水浴 15min。冷却后在光度计 532nm 及 600nm 处,以试剂调零点,测光吸收值。从 532nm 的 该数之中减去 600nm 的该数,即得 MDA 的 光吸收值,表示为 Assz-800。各反应管的 Assz-800值减去空白值,得 · OH 诱导的 MDA 之光吸收值。此值×900 得 nmol MDA/8 · Hb。反应混合物中含有 · OH 清除剂时,产生的 MDA 少于对照,1%计算公式如上。

2. 2. 测应激红细胞释放的 Hb 量:温育结束时,试管用冰水冷却。2000rpm 离心,取 0. 1ml 上清液,加至 2. 5ml Drabkin 试剂中,在光度计 540nm 处测光吸收值,结果以 A₅₄₀ 表示。

2.3. 测红细胞膜乙酰胆碱酯酶(AchE) 活性:应激反应 120min,各管加入冰冷的生理盐水 5ml. 1500rpm 离心 5min,去上清液, 重复洗 1 次。沉淀的红细胞用生理盐水再悬至 2ml。而后按 Ellman 等法[8],于比色杯中加入 0.1 M、pH 8.0 的磷酸缓冲被 2.5 mi,应激的红细胞悬液 20μi, 0.01 M DTNB 20μi, 0.075 M 氧化乙酰硫代胆碱 20μl。加盖,倒转混合 3 次,用光度计自动描记 412nm 光吸收值的改变,持续 6min。酶活性以每分钟光吸收量表示。

三、结果

1. 福尔酸钠对·OH 攻击不饱和脂酸的影响

表1可见·OH 攻击不饱和脂酸 30min,福尔酸钠显著抑制了亚麻子酸及亚油酸的过氧化。其Assz与CK 组比,经 t 检验,p 值均小于 0.001,差别有极显著性。图 1 证明福尔酸钠对亚麻子酸过氧化的抑制作用有剂量依赖关系。0.05%SF 抑制率为 72.6%,0.2%SF 的抑制率为 92.7%。

表 1 福尔酸钠对不饱和脂酸的保护作用

组别	实验数	亚麻子酸		亚油酸	
		$A_{532}(\bar{X}\pm SD)$	1%	$A_{632}(\bar{X}\pm S\dot{D})$	1%
CK	5	0.617±0.008		0.113 ± 0.003	
SF 0.1%	5	0.167±0.003°	72.9	0.030±0.002°	73.5
benzoate 10mM	5	0. 270±0. 006 °	55. 6	0.035±0.003°	69. 0

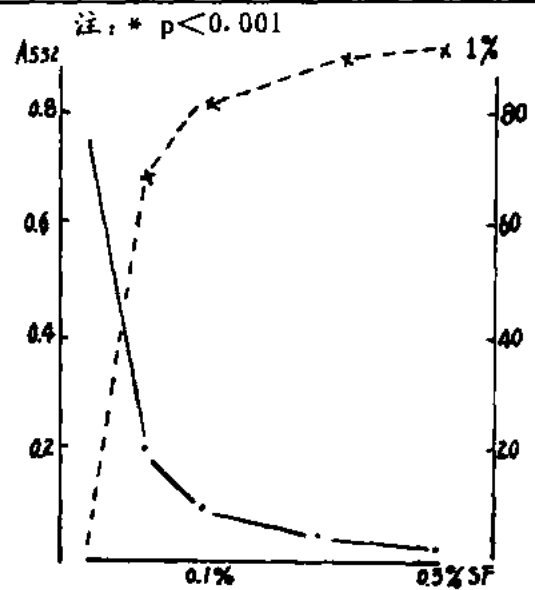


图 1 福尔酸钠抑制亚麻子酸过氧化的浓度效应 每点 3 个数 · Asa. X. 1%

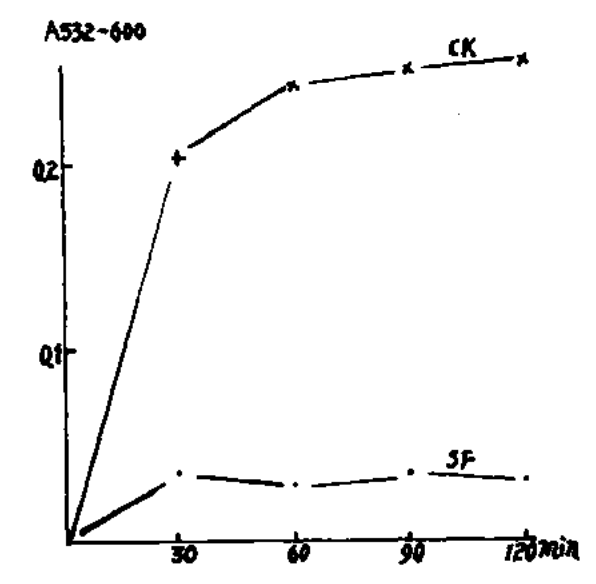


图 2 • OH 诱导红细胞脂质过氧化时间反映 每点 3 个数

2. 福尔酸钠对应激人红细胞的影响

2.1. • OH 作用于人红细胞 60min,诱导生成的 MDA 量如表 2.各剂量的福尔酸钠均量示了明显的抑制作用。与 CK 组比,经 t 检验,p<0.001.差别有极显著性。剂量增大,

抑制作用增强。图 2 反映·OH 作用于红细胞的最初 30min,诱导 MDA 生成速度最快,其后减慢。有福尔酸钠(0.05%)存在,受抑制的 MDA 水平不受温育时间的影响。

组别	实验数	MDA nmol/g • Hb X • SD	1%
CK	5	238.5±7.2	
SF 0.025%	5	90.9±2.1°	61.8
0. 05%	5	40.1±0.9°	83. 2
0.1%	5	27.0±1.0°	88.7
0. 15%	5	18.0±0.7°	92. 4

表 2 福尔酸钠对受应激入红细胞脂质过氧化的影响

注: *p<0.001

2.2 上述实验体系湿育红细胞至 2 小时,仅见微量溶血。增加应激体系中的 H₂O₂量至 10mM,结果如图 3.CK 组湿育至 60min 开始小量溶血。此后 Hb 释放急剧加速。至 2 小时,A₅₄₀增至 0.198± 0.012.0.05%SF 使 2

小时的 A₆₄降至 0.053±0.008,抑制率为 73.2%。与CK 组比,经t检验,p<0.001。
・OH 清除剂 DMSO(二甲亚砜)0.7M,Hb
释放抑制率为 91.4%。

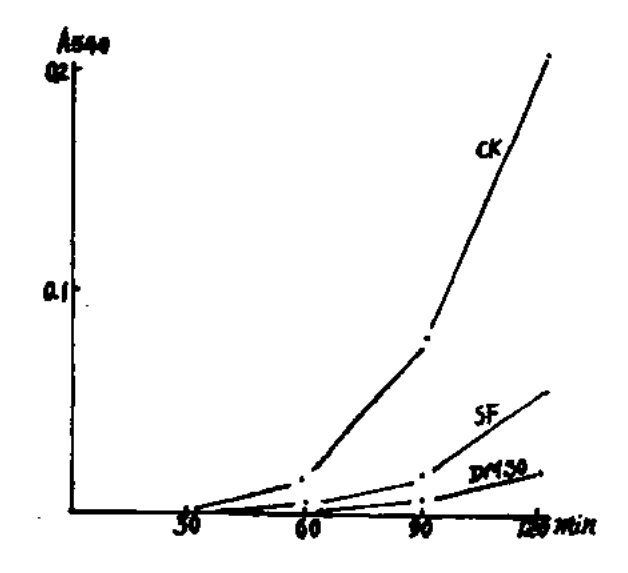


图 3 福尔酸铁对·OH 诱导溶血的影响 (每点 4 个数)

2.3 · OH 诱导红细胞膜 AchE 灭活

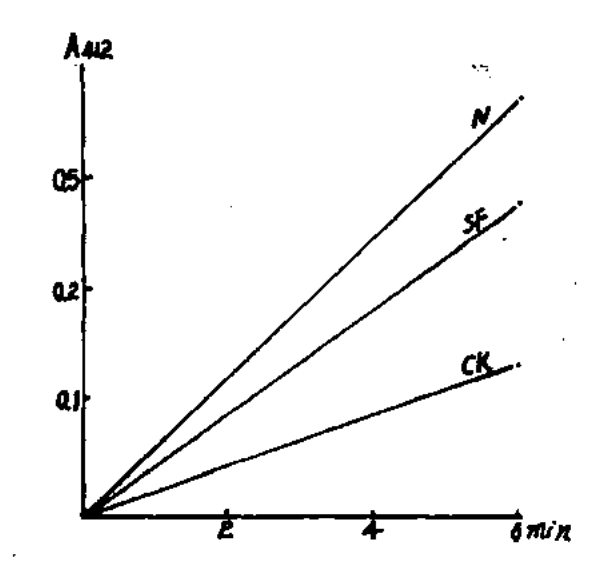


图 4 福尔酸钠对红细胞膜 AchE 的保护作用

实验。含 5mM H₂O₂,应激 60min,无明显影

啊。增加 H₂O₂ 量至 10mM, 温育 2 小时, 结果如图 4。未受·OH 攻击的红细胞, 其 AchE 与底物作用,使 A₁₁₂以 0.062±0.002/min 的速率直线增加。CK 经应激 2 小时, 其酶反应的 A₁₁₂速率降至 0.023±0.002/min。应激时有 0.1% SF 存在, 其酶 反应的 A₁₁₂速率为 0.048±0.003/min。活性较 CK 大 1.09 倍。p <0.001。

四、讨论

本试验结果看到不饱和脂酸对羟自由基很敏感。亚麻子酸甚于油酸(见表 1)。这与文献报道[6]的一致。显然, 行清除·OH 能力的福尔酸钠[1]显著抑制这两个不饱和脂酸的过氧化。且图 1 表明此抑制作用有剂量依赖性。增加剂量可使抑制作用较完全。反映福尔酸钠与不饱和脂酸竞争·OH, 从而消除其危害, 保护此生物膜成分。

如表 2 所示,福尔酸钠也抑制红细胞在 应激下的 MDA 生成、就象抑制乳粒中不饱 和脂酸过氧化一样有效,并有剂量依赖关系。 同样,福尔酸钠也抑制受应激的红细胞释放 Hb. 由图 2 及图 3 的景观来看, MDA 的生成 与 Hb 的释放机制不同。已知 MDA 生成是 脂质过氧化的直接结果,故图 2 CK 显示红 细胞在应激之初,迅速产生 MDA,30min 产 量是2小时全程的76.5%。而图3CK,Hb 的释放,在2倍H₂O,显诱导下,仍需近1小 时的迟滞时间。此外,图2中受应激红细胞被 福尔酸钠抑制的 MDA 水平,延长温育时间 至 2 小时亦不再增加。而图 3 可见此红细胞 在温育至 90~120min 时, Hb 释放速度才明 显加快。这些都说明福尔酸钠抑制 Hb 释放, 不是由于抑制脂质过氧化的直接结果,可能 是另外的继发机制所致。

图 4 肯定了福尔酸钠对 AchE 有明显的 保护作用。据认为^[10]脂质为此酶活性所需, 发生脂质过氧化即会损伤其活性。本实验中 应激红细胞至 60min, 脂质过氧化已达高峰 (图 2),但未明显影响此酶活性。似乎此过氧化也不是 AchE 活性损失的直接原因。

总结上述结果,可以认为。OH的敏感目标是不饱和脂酸。。OH诱导红细胞脂质过氧化,产生MDA,它可与蛋白质的氨基结合或以其交链作用[II.NE]使红细胞膜成分的结构改变,丧失功能,从而继发溶血,AchE 灭活。福尔酸钠清除。OH 而抑制脂质过氧化,减少MDA 生成。继而抑制了红细胞 Hb的释放及AchE 的灭活。由此可以推想,在临床缺血性疾病及各种氧自由基诱导物中毒之组织损伤的防治中,使用福尔酸制剂,应能收到较好的效果。

参考文献

- 1. Arking R, Free radical theory. In ; Biology of aging 1991, Prentice Hall, USA P304-310
- 2. Bulkey GB, The role of oxygen free radical in human disease processes. Surgery 1983,94,407
- 3. 首述之等, 黄腐酸钠对大鼠组织细胞脂质过氧化的影响, 腐植酸, 1990; 2:9
- 4. 曾述之等,福尔酸制剂对氧自由基作 用的研究,中国药学杂志,1994
- 5. Wilber KM, The thiobar bituric acid reagent as a test for the oxidation of unsaturated fatty acids by various agents. Arch Biochem 1949,24:30 5
- 6. Stocks J and Dormandy T1, The susceptibility to autoxidation of human red cell lipids in health and disease. Brit J Haematol 1972, 23, 713
- 7. Rice—Evans C and Baysal E, Iron mediated oxidative stress in erythrocytes. Biochem J 1987, 244, 191
- 8. Eliman GL, Courtney KD, Andres V, A new and rapid colorimetric determination of acetylcholinesterase activity. Biochem phar—

macal 1961 7:88

9. Browniee NR, Huttner JJ, Panganamaia RV, Role of vitamin E in glutathione induced oxident stress; Methemaglobin, lipid peroxidation and hemolysis. J Lipid Res 1977, 18: 635

10. Goldstein BD, Searle AJ, Willson RL, The susceptibility of red cell acetylcholinesterase to radiation induced free radicals. Arch Biochem Biophys 1980, 201, 235

II. Mukai FH, Goldstein BD, Mutagenicity of melonaldehyde, a decomposition product of peroxidized polyunsaturated fatty acids.

science 1976,191;868

12. Hochstein P, Jain SK, Association of lipid peroxidation and polymerization of membrane protein with erythrocyte aging. Fed Proc 1981, 40:183

(来源: 腐植酸, 1994, 3: 3-6+7)

含服 FA 治疗口腔炎症溃疡出血 105 例

疗效观察

朱新生

(中国人民解放军海军总医院)

王尔川

(中国人民解放军第316 医院)

莱柳林

(北京冶金医院)

発柱等 (武汉长江航运局医院) 群燕母

(北京医科大学)

杨祥菊

(河南医科大学)

掩 要

在 FA 治疗胃肠道炎症溃疡出血安全可靠的基础上,几家医院协作用 FA 治疗口腔炎症溃疡出血,也取得了安全高效的结果。把口服 FA 改为含服 FA 的同时,把疗效从 91%提高到 95.2%,总有效率提高了 4.2%,没有发现任何毒性与不良反应。

自 1990 年起,我们几家医院使用 FA 对口腔炎症溃疡出血病人治疗效果进行观察 105 例,用同一标准的药品制剂,统一的临床诊断标准。选择同样的用量用法和同一范围的适应症。对临床和门诊病人进行系统的治疗效观察和随访,使用 FA 这样大规模的治疗效观察和随访,使用 FA 这样大规模的治疗可以是受到用 FA 治疗牙痛的过程中发现了 FA 对口腔炎症溃疡出血的启发[1]。另一方面是我们在使用 FA 治疗牙痛的过程中发现了 FA 对口腔炎症溃疡出血也具有良好的治疗效果,因此炎症进行系统观察。现把我们观察的结果极快定进行系统观察。现把我们观察的结果极快定进行系统观察。现把我们观察的结果极大定进行系统观察。现把我们观察的结果极大

一、一般资料

本文所使用的 FA,全部符合张秀展、朱新生等发彩的豫卫药准字 9088044 的质量标准^[2]。在观察的 105 例病例中,女性病人 63 例占 60%。男性病人 42 例占 40%;年龄最小的三个月,年龄最大的 83 岁;治疗时间最短的为四天全愈出院,治疗时间最长的为一个月。年龄分组情况为:12 岁以下的 19 例占 18.1%;13~14 岁 24 例占 13.3%;25~36

岁为 8 例,占 7.62%;37~48 岁为 7 例,占 6.67%;49~60 岁为 9 例,占 8.57%;61~72 岁为 21 例,占 20%;73 岁以上的病人为 27 例,占 25.7%。病按职业分组为工人 17 例占 16.2%;农民 15 例,占 14.3%;军人 33 例,占 31.4%;学生 21 例,占 20%;学龄前儿童 15 例占 14.3%;退休人员 21 例,占 20%。

二、观察方法和诊断标准

本文所选择的适应症概括为口腔炎症溃疡出血。其中也包括牙龈炎,牙周炎,牙槽脓肿,拔牙后出血和拔牙后伤口感染,口疮、单池性龈缘炎出血,疮疹性口炎,阿弗它口炎, 阿弗尼山炎病性口炎等,临床的诊断标准统一定为治愈出院后一年不复发者为治愈;一年内复发二次以下者为显效;一年内复发二次以下者为显效;一年内复发三次。大庭、溃疡、出血三个症状之一者为无效。病人的用量用法统一使用每天三次。每次20~30ml,在口内含4~6分钟后咽下。除了对每一个病人详细做病例记录外,一年以后对105例病人进行随防记录。

对口腔炎症溃疡出血也讨论制定了统一

的标准。凡是病人口腔红肿热疼有其中二项或只有其中一项但同时伴有白血球(WBC数>8000)偏高或者是局部有脓肿的病例在临床诊断为口腔炎症,凡是病人有口腔粘膜有脱落、遗烂或破损的病例称之为口腔溃疡,并按其溃疡面积的大小进行分等级记入病例,凡是由口腔粘膜下出血,牙龈出血,单纯性龈缘出血以及拔牙后出血等在临床均诊断为口腔炎溃疡出血的病人,中我们选择比较典型的病例做为自愿受试者的其它药物治疗一律停止,改用单独含服FA治疗。

三、分析讨论与结果

按照上述几项指标进行临床治疗结果评 价,治愈47例占44.8%,显效39例占 37.1%;有效14例占13.3%;无效5例占 4.8%, 总有效率为 95.2%, 与临床用 FA 治 疗胃肠道炎症溃疡出血相比总有效率提高了 34.2%[3]。这主要是因为改进了用药方法,即 采用含服的方法。直接内服 FA 药物在胃肠 道被吸收后发挥全身作用。而采用含服的办 法用药,既有药物在胃肠道被吸收的全身发 挥作用;又有口含期间 FA 在口腔粘膜吸收 发挥的直接局部作用。这种方法不仅提高了 总有效率 4.2%,同时也缩短了治疗过程,把 过去治疗胃肠道炎症溃疡出血一个月一个疗 程缩短到一周为一个疗程[4]。这一点除了用 药方法的改进之外,也许与口腔粘膜的再生 和修复能力有关。

通过用 1%FA 对口腔炎症溃疡出血 105 例的疗效观察证明,FA 可以作为首选药物在 口腔科治疗炎症溃疡出血。它具有疗效高,没 有副作用和不良反应的优点。

FA 治疗口腔炎症溃疡出血的机理可能 是,(1)通过提高病人肌体的免疫功能而加快 遗疡面的修复和愈合^[5];(2)通过改善病人口腔血管的微循环和营养条件而增强了口腔的防病能力,使得口腔溃疡面加快修复和愈合^[5];(3)是 FA 本身的去腐生肌作用加快了口腔溃疡面的修复和愈合^[5];口含服的用方式发挥 FA 的治疗法,通过不同的作用方式发挥 FA 的治疗,局部用药可以止血并使得疼痛立即消失或明显减轻,这都有利于药物进一步发育作用。同时还改善了病人饮食和睡眠不便的条件,而口服后的全身用药从根本上对微循环障碍、免疫功能减退和失去平衡进行调整和改善,而得到更好的治疗效果。

是否口腔炎症出血的病人女性一定高于 男性?是否老幼患者发病率明显偏高?口腔 炎症溃疡出血发病的机理是否与人的内分泌 有关?这些问题还无法做出结论,有待进一步 研究。

参考文献

- 1. 朱新生、刘志发、郭秀芳,口服 FA 治 疗胃肠道炎症、溃疡、出血病人 289 例疗效观 察,腐植酸,1990;3:37~38
- 2. 张秀展、朱新生等, 黄腐酸钠口服液质量标准, 腐植酸, 1991; 4:52
- 3. 朱新生、刘志发、郭秀芳,黄腐酸钠 289 例与雷尼替丁 50 例疗效观察比较,腐植 酸,1991;1:48~49
- 4. 朱新生,黄腐酸钠(FA)的生产议制及 临床应用,腐植酸,1990;4;46~51
- 5. 朱新生, 黄腐酸钠(FA)的生产议制及 粘床应用, 腐植酸, 1990; 4; 46~51
- 6. 农中元、米良油、茚全福,黄腐酸钠对 根循环的作用,江西腐植酸,1985,3.28~32
- 7. 朱新生,黄腐酸钠(FA)的生产试制及 临床应用,腐植酸,1990;4:46~51

(来源: 腐植酸, 1994, 3: 20-21)

黄腐植酸钠治疗溃疡性结肠炎疗效 及对免疫功能影响

苏東文 (北京市海淀医院)

換 要

本文就我院 16 年来,经纤维结肠镜(下称纤结镜)并病理报告诊断的溃疡性结肠炎 Uicove Colitis(下称 UC)68 例。使用黄腐植酸钠 Fumid Acide(下称 FA)及对照治疗 8 周疗故:FA 组 46 例,有效率 91. 3%,对照组 22 例,有效率 45. 5%。两组一年期满随访到 FA 组 34 例,复发 3 例占 8. 8%和对照组 20 例,复发 15 例占 75%。同步检测免疫指标结果:FA 组血清 IgG、M 总补体 CH₅₀与时照组比较无显著差异。但 FA 组 IgA、C₅ 和血色素各总量的增加与淋巴细胞转化率的改善优于对照组。作者认为 FA 对 UC 疗效较满意对人体免疫功能有调节作用。本文对 FA 作用机理与免疫功能影响进行讨论。

一、前言

UC是一种常见病,近年来国内外发病率有增高趋势[1][2],治疗本病的药物很多,但多数近期有效,近期效果甚差,且复发率亦很高。根据 FA 在临床治疗类风湿性关节炎、妇女会阴营养不良症、慢性湿疹、哮喘等病己取母较好疗效。在动物实验中,有促进伤口愈合、抗炎、抗过敏、延缓肠推进时间[5],促进小鼠巨噬细胞吞噬功能的作用[4]。故此,我院对UC68 例进行了近、远期疗效观察和对免疫功能影响指标的测定,旨在评价 FA 治疗该病的确切疗效和对免疫功能的影响,为临床提供可能数据及应用前景。

二、临床资料

1978年~1993年本院府植酸专科门诊,和消化科门诊病人,具有腹痛、腹泻、粘液便或粘液血便,伴有不同程度肠外症状,消瘦、乏力、发热、贫血。少有患者便秘,经三次便培养、除片找阿米巴和二周以上抗菌剂治疗无效者,均做纤结镜并行粘膜活体组织检查与极像。结合病史排除菌痢、肠结核、血吸虫病,参照 1978年全国消化会议拟定的标准[4]确诊 68 例,随机分为二组,灌肠合剂组(对照组)、FA 组。二组性别、年龄、病程分布见表1。

我!	l	二组	性别	700年,	、麻科	性分布	
----	---	----	----	-------	-----	-----	--

60 Dil	H .4-		年 龄(岁)	<u>-</u> : . <u>-</u>	病程(年)		
组别	男	y	年龄距	平均范围	₹ 1	15	≯5
对照组	13	9	2961	42. 1	4	11	7
FA 组	28	18	3262	42. 8	7	24	15

表 1 可以沿出,二组性别、年龄、病程分 有相近。经卡方测定 P≯0.05。

三、药物与方法

1. 药物及配制

灌肠合剂系本院协定处力一一期特更 1 克、考的松 25 毫克、复合 B8 片、1%奴夫卡因 20 毫升,混合后加水至 200 毫升备用。

黄胸植酸钠系北京第二药厂提供的粉剂 批号 820528, 由本院制剂室配成 0.5%灭菌 溶液。

2. 治疗方法

二组购例均使用低压保留灌肠法,二组 药液各为 40 运升(水温 37℃左右),每天灌 肠一次,六天停灌一次,30 次为一疗程,连灌 8 周,观察期间不加有关治疗药物。

四、观察指标

- 1. 二组治疗前后观察指标
- 1.1. 临床方面 腹痛、腹泻或便秘、腹鸭、腹部压痛、体重。
 - 1.2. 检测方面 白细胞;

血色素:

纤结镜,光导 OlympasTB,型 IT 130型。 病理检查,本院病理科承担。

血清免疫蛋白(I&G、A、M);本院检验科 血清室,采用彩色单扩散板法。

总补体 CH₅₀,本院检验科血清室,采用 编羊血红细胞稀释法。

Ca:本院检验科血清室,采用单扩散板

法.

淋巴细胞转化率:与北京医科大学细胞研究室协作完成,采用 T、B 细胞体外培养用放射自显影法检测。

- 2. 二血路 计观察指标
- 2.1. 临床方面 (1)停药一年未发生过 下腹疼痛,大便正常;
- (2)停药一年内发生下腹疼痛 1~5 次, 大便正常,不影响工作,自觉不象发生了 UC:
- (3)停药一年内发生頻繁腹痛 1~30 次, 自觉象发生了 UC。

以上 8 组内容是以家访或通信方式完成的,随访到的全部病例均进行纤结镜并行病 理复查。

五、疗效评定标准

凡溃疡消失或仅留瘕痕,且病理报告粘膜仅有少量淋巴细胞、单核细胞浸润者为愈合:

责病面缩小至 1/2 以上,病理报告可有 轻度慢性炎为好特;溃疡大小无变化或增大 增多,病理报告可见大量淋巴细胞和浆细胞 或陷窝脓肿者为无效。

六、结果

1. 两组有效率

对照组 22 例,有效率 45.5%;FA 组 46 例,有效率 91.3%,二组疗效比较见衰 2.

表 2 两组疗效比较

组别	例数	溃疡愈合例数(%)	有效例数(%)	无效例数(%)	总有效率%	P值
对願组	22	3(13.6%)	7(31.8%)	12(54.5%)	45. 5%	
						< 0. 05
FA组	46	32(69.6%)	10(21.7%)	4(8.7%)	91.3%	

通过我 2 看出,两组疗效相比,经统计学卡方衡定处理 P × 0.05,提示 FA 组疗效(8

周治疗)优于对照组。

两组随访病例溃疡复发率,对照组 15 例

占 75%:FA 组 3 侧占 8.8%,两组卡方测定 年溃疡复发率低于对照组。 亦有统计学意义 P×0.01,揭示 FA 组随访 I

2. 两组临床征象比较(见表 3)

. ₩	Rtt.	征	床	低度	后	'n	拧	治	两组	3	表
	RU	шя	体	1001	石	ĦΨ	13	10	MH	3	衣

此 古:在 秦	对	照组	FA 组		
临床征象	治疗前例数(%)	治疗后例数(%)	治疗前例数(%)	治疗后例数(%)	
腹痛	18(81.8%)	31(55%)	42(91.3%)	9(19.6%)	
腹鸣	8(40%)	6(30%)	20(34.4%)	3(6.5%)	
腹压痛	15(75%)	10(50%)	40(87%)	9(45%)	
体重下降	8(40%)	8(40%)	9(45%)	18(39.1%)	

通过表 3 可看出,两组腹痛腹泻或便秘、 肠鸣比较,均有统计学意义 P < 0.05,腹部压 腹痛、腹泻或便秘、肠鸣改善均优于对照组。

两组随访一年下腹疼痛症状比较:无下

腹疼痛者 FA 组占 63%,对照组占 15%,一 年内下腹痛 1~5 次者 FA 组占 28.3% 对照 痛和体重无明显差异 P≯0.05,提示 FA 组 组占 40%;一年内下腹痛頻繁 1~30 次,FA 组占 8.7%,对照组占 75%。

3. 两组检测指标结果(见表 4、5、6)

表 4 两组治疗对免疫球蛋白的影响

组别	例数	IgG 菜±SD(%)	P值	IgA X±SD%	P值	ign X±sd%	P值
正常人	50	125.7±34.1		141.7±27.6		174.2±21.6	
			>0. 05		>0. 05		> 0. 05
对照组	22	139.6±26.1		84.9±12.7		192.7±26.1	
			> 0. 05		0. 05		>0.05
FA 组	46	128. 3±20. 4		138.8±24.9		. 190. 4±26. 1	

通过表 4 可看出,两组免疫球蛋白相比, 经统计学处理IRA值差异有显著性PX

0.05,提示 FA 组 IgA 值总量有升高,对照组 降低.

表 5 两组治疗对总补体和淋转细胞影响

补体 淋粒细胞 X±SD(%)									
组别	例数	CH ₅₀	P值	C ₄	P値	T	P價	В	P值
正常人	50	139. 21 ± 20. 62		2. 16±23. 2		50-70		20-30)
			> 0. 05		>0.05		<0.05		<0.05
对照组	22	122.71±31.52		84. 4±15. 41		40. 21		9. 76	
			>0.05		∠0. 05		< 0. 05		< 0.05
FA 组	46	121.06±31.42		118.8 ± 23.23	i	58.14		15. 24	

通过表 5 看出,两组补体相比,C, 经统 计学处理 P < 0.05,两组淋转细胞相比 T 细

雕、B细胞有统计学意义 P < 0.05, 提示 FA 对照组。组 Ca总量有增加, T、B 细胞值有改善且优于

组别	例数	白细胞总数 X±SD(%)	P值	<u>血色素总数</u> X±SD(%)	P值
正常人	50	7280.5±2193.16		13.1±1.02	
			≻ 0. 05		>0. 05
对照组	22	7154. 2 ± 140.2	•	10.53 \pm 1.01	
		•	>0.05		<0.05
FA 组	46	7862.4 ± 146.3		13.98 ± 1.44	

表 6 两组治疗白细胞、血色素影响

通过表 6 看出,两组 WBC 总数相比经统计学处理血色素差异有显著性 P < 0.05,提示 PA 对升高血色素优于对照组。

七、典型病例介绍

例1.史某某、女、44岁,某菜园农工,自 述左下腹疼痛三年,便后疼痛加剧近一年。粘 液瓣便8个月,俱带鲜血,经纤结镜及活检证 实为左半结肠溃疡,溃疡面积大的约0.8× 0.8cm、小的约0.4×0.3cm 共二个,T 转化 细胞 42.8%,B 转化细胞7.6%,白细胞总数 5300、血色素8克.经0.5%FA 灌肠治疗8 周,复查纤结镜溃疡愈合,病理报告为少许淋 巴细胞浸润,白细胞8100个,血色素10.5 克、T 转化细胞62.5%,B 转化细胞15%,一 年后随访复查无明显临床症状,纤结镜复查 债务无复发,坚持全日工作。

例 2. 周某某、男、52 岁,某大学人事处处长。因有慢性腹泻史,工作过劳,于 1989 年 3 月右下腹疼痛阵发性加剧,伴有大量粘液血便、精瘦、乏力反复治疗症状时好时坏。 1991 年初到本院就诊、查血色素 6 克,纤结镜并病理诊断为超百部溃疡检查 Ig G 194. 7% mg、IgM 162. 4% mg、Ig A 80. 7% mg,经 FA 灌肠治疗 8 周,复查溃疡愈合,血色素 10. 5 克、Ig G 138. 6% mg、Ig M 96% mg、Ig A 156% mg

恢复正常工作。随访已四年仍无复发。

八、讨论

1.本文报道的 UC68 例,多为腹痛、腹泻,为粘液便或粘液血便占 87%,少有便秘占 5.8%,消瘦、乏力、贫血为俱见仅占 2.9%,经纤结镜检查为粘膜溃疡,病理病变多集中在粘膜下层及肌层,本文粘膜溃疡占 96.6%,肌层溃疡占 3.3%。这与镜下取活体失误有关,否则肌层溃疡检出率还会增高。本文诊断符合率接近文献报告[2]。可供临床参考。

2. UC 发病率高,治疗效果至今未能令人满意,治疗药物虽多,但能防止复发而远期疗效较好的药物尚少,近代文献报道[5]不少药物治疗 UC 年复发率大约在 20%~90%之间,本文用 FA 灌肠治疗后随访一年溃疡复发率只有 8.7%,止痛止泻效果达 96%,而且 FA 药物资源丰富,价廉易取,无毒副反应[1][6]使用方便。可做为治疗本病比较安全有效、复发率低的一种药剂。

3. 结肠镜的广泛应用,为本病的诊断提供了有力的武器,不但可以定位、定度、定期,还有一定的定性意义。作者还通过纤结镜观察到,FA 与溃疡面接触后,创面局部药液较集中,似量一层胶状保护膜,从而可减少分泌

物的渗出,消除水肿,创面得到良好的血运供应,达到加速病损组织的修复能力。与FA 具有胶体性能、抗炎收敛促进愈合效果是相符的^[7]。

4. FA 治疗理论(本草纲目)[13]记载"... 腐朽之古木气味咸温无毒,主治心腹疼,止泻浓血,蜈蚣咬人,手足掣痛,不仁不随者煮汤饮之甚良,红煤煮水外敷去腐生新,收湿此痛"。这与当代 FA 的抗炎止痛、去腐生肌、脱敏[10]等作用十分近似。近年来的研究已表明,FA 对实验动物和人体有促进溃疡愈合的作用[10],有延缓肠推进时间的作用[15],临床应用 FA 治疗类风湿、会阴营养不良症、哮喘、慢性湿诊、消除运动员疲劳等也都有一定的疗效[1]。本观察结果近、远期疗效均优于当的一般药剂,对调节人体免疫功能亦有良好的作用,体会到 FA 治疗某些免疫性疾病应用前景是广阔的。

5. FA 的治疗机理[11]:它是一种含芳香 结构的有机弱酸,含有较多活性基团,能激活 多种酶的活性,加强细胞内呼吸,促进组织新 陈代谢、增强机体的抗病能力。 有人认为 FA 能刺激肠粘膜内 IgA 的合成,造成外周血的 IgA 量下降[16]。本文也测出 FA 组治疗后 IgA 值升高,这对保护粘膜、防止溃疡形成和 愈合是个主要条件、又本文 FA 组疗效高于 含免疫抑制剂的考的松为主成分的对照组。 体现出 FA 对免疫的抑制作用,FA 有较强的 络合能力,整合能力(7),起到清除肠道细菌毒 素、腐败气体和有害物质等的作用,对消除腹 胀很有益处。止痛作用机制复杂,可能与粘膜 渗出减少,水肿消失,溃疡愈合解除肠痉挛所 致,也有人报告[n],FA 能抑制前列腺素 E 的 合成,因为前列腺素 E 是疼痛的媒介。

6.UC 免疫异常,病理学检查可见病变组织中有大量淋巴细胞和浆细胞浸润,病变组织含有抗原抗体复合物和 C₃ 沉积的结果造成血清 C₃ 总量的下降[12]UC 做细胞培养

出现细胞毒作用,更加剧补体含量的下降,由此带来后果,导致肠组织的破坏、IgA 减少,与本文检测结果相符。值得提及总补体 CH₅₀ 影响不明显,有待进一步做工作。

UC 淋巴细胞的作用—— 破坏结肠上皮,造成血清淋巴细胞转化功能低下[13]。本文FA 治疗T 转化率提高 34.3%及 20.8%, B 转化提高 94.4%及 72.6%,可看出 FA 对免疫功能的改善作用。作者曾观察 FA 治疗类风湿性关节炎患者 T 转化率提高而 B 转化率降低。 B 转化率降低。 B 转化率降低。 B 转化率极高而 B 转化率极高元 T 高 B 细胞转化率均下降说明机体免疫力恢复正常;类风湿性关节炎是自身免疫性疾病,由于体内产生了抗体,FA 治疗后 T 高 B 低,说明 FA 抑制了体液免疫,从而,又看出 FA 对免疫的调节作用。

综上所述,黄腐植酸钠作为一种免疫调节剂可以对人体的免疫功能起调节作用。根据其临床疗效,为根治渍疡性结肠炎寻找出一种新的治疗方法。本文所述在国内外尚未见到报道。

在完成本观察工作中,得到北京医科大学细胞研究室、刘顶新教授和孟书聪老师的极大帮助,在此表示衷心的感谢。

参考文献

- 1. 李定国,全国慢性感染性肠道疾病,中华医学,1993;2(4)
- 2. 歐阳颖等:纤维结肠镜对溃疡性结肠 炎诊断的作用和限度,内镜,1993;1(1)
- 3. 苏秉文等:风化煤腐植酸对类风湿性 关节炎 124 例研究,江西腐植硷,1985;3
- 4. 曾述之等:风化煤黄腐植酸钠对小鼠 巨噬细胞吞噬功能的研究,江西腐植酸, 1987,2,22~23
- 5. 于仁吉等;风化煤黄腐植酸钠对大鼠肠推进运动的影响,生理学报,1984;1(1)
 - 6. 黄孟权等:(汇编)疾病诊断标准汇编。

1984;5(4)

- 7.张稳和:风化煤腐植酸的结构表征,化学学报,1981:5(39)
- 8. 李时珍:《本草纲目》石部金石之三及 土部
- 9. 标志彬:不同种类腐植酸状炎作用研究,北京医学院学报,1981;2(7)
- 10. 李彦、苏東文:风化煤腐植酸对大鼠 实验性胃溃疡愈合病理形态学研究,江西腐植酸,1983;4:23~27
- 11. 陈正立:不同来源裔植酸对免疫功能影响的初步研究,化学学报,1979;4(10)
 - 12. 周殿元等:不同原因的慢性结肠炎病

因前糖性研究。全国肠病学尽讨论会论文汇 编,1993:6、9

13. 李彦、王貴; 风化煤腐植酸对 T 细胞 免疫功能的研究, 绵州医学院学报, 1983, 2

14. 张锦坤等:慢性溃疡性结肠炎的病因 学研究,中华消化杂志,1985;2:68

15. 丁桂风:黄腐桂酸对免疫功能的影响,江西腐桂酸,1988;4:28

16. 郭澄弘:我国腐植酸的药理学研究, 江西腐植酿,1986;3:41

17. 杨永彰:炎症性疾患病因与发病机理,中华消化杂志,1981;1(4)

(来源: 腐植酸, 1994, 3: 14-19)

试 验 研 究

黑龙江省桦川泥炭提取药用腐植酸的初步研究

祝亚勤

(黑龙江中医学院中药系)

一、梅况

类型:芦苇苔草型

含水量:鲜80%左右;自然干燥后(以不 粘手为度)49%左右

水溶解度、30%左右

灰份:30%左右

水溶 pH 值:5.8~6.0

二、性质研究

1. 元素分析

卷 1 元素组成表

元家名称	碳(C)	复(H)	氧(0)	氨(N)
含量%	67.5	3. 80	24. 56	i. 60

2. 腐枝酸分子量

表 2 分子量表

腐酸类别	黄腐酸	棕腐酸	黑腐酸	总腐酸
平均分子量	398. 86	980.60	1827. 45	1068. 97

3. 理化性质

表 3 性状表

性状	黄腐	Ŷ	棕腐	Ŕ	無度	校
状态	无定!	粉末	无定	材末	无定!	松末
颜色	黄色		棕色		黑色	
气味	无嗅	味酸	无嗅	味酸	无嘆	味酸

4. 黄庸融水溶液 pH 值的测定

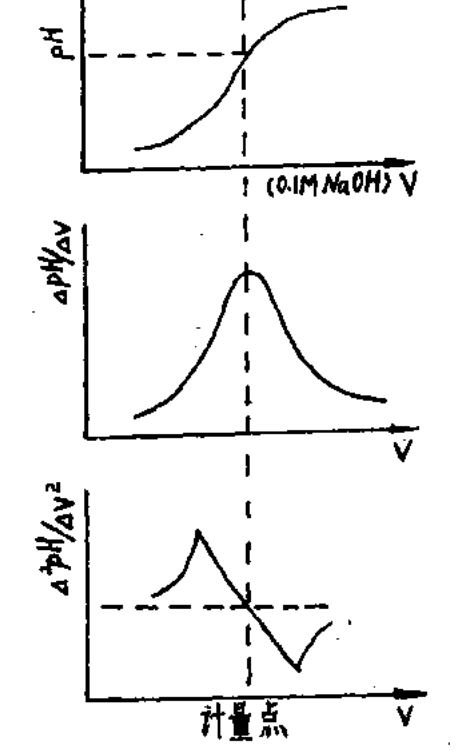
用 pH 计衡码的 FA pH=3.0~3.5(1× 10^{-4} -3.16× 10^{-4})用电位滴定法求得计量点时的 pH 值为 7.6.

徐传志

(黑龙江省腐植殿资源开发利用办公室)

表 4 溶解性表

腐設种类	水	較 (pH=1)	95% 乙 牌	碱性				
FA 黄腐酸	棺	榕	育	檜				
HyA 棕腐酸	溶解	谱	不	햠				
HA 黑腐酸	不	不	<u>不</u>	潜				



捆 1 黄旗酸电位滴定

5. Exas/Exasc腐酸的可见紫外吸收光谱 用可见紫外分光光度计测 A—A 曲线

 $A_{445} = 0.144$ $A_{645} = 0.08$

 $E_{485}/E_{645} = 18$

6. 腐植酸的毒性分析

6.1. 重金屬杂质限量检查

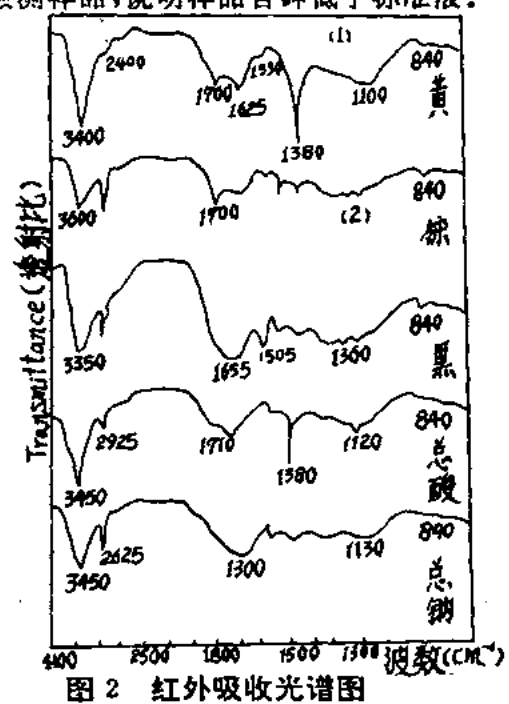
(1)铅的检查

检查方法:精称腐植酸钠 0.4039 克,用于铅盐限量检查;精称已恒重的P_s(NO₃)。 0.7990g,以85 年药典制成 10μg/ml 铅溶液。

依 85 年药典,将腐植酸钠处理,然后按要求同标准铅液在奈氏比色管中比色。结论,标品颜色深于样品颜色,说明样品含铅低于药典限量规定。

(2)砷盐检查

精称腐植酸钠 3.04578,用于含砷盐限量检查,将钠盐处理,然后按 85.年药典要求配成 lug/mi 砷的标准溶液,在研瓶中比较砷 斑颜色。结论、标准砷液形成的砷斑颜色明显 探于被测样品,说明样品含砷低于标准液。



6.2. 放射性元素测定

本品不使测定仪本底脉冲数增加。

6.3. 小鼠腹腔注射 800mg/kgFA,不引起死亡。

7. 光谱特征及分析

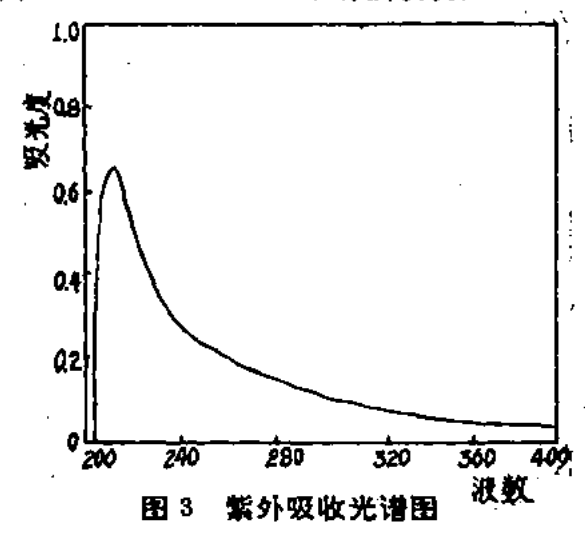
7.1.红外吸收光谱

取样品:FA(1)棕腐酸(2)黑腐酸(3)总腐酸(4)总腐酸钠(5)约 2mg,在红外灯下

KBr 压片后,在 IR-408 型红外分光光度计上测定 $4000\sim650$ cm $^{-1}$ 的红外吸收光谱。测定结果如图 2。

7.2. 紫外吸收光谱

将 FA 样品配成浓度为 6mg/100ml 的 NaHCO₂(0.01M)的水溶液,在美国贝克曼公司 DU-7 型紫外分光光度计上测定,测定范围 200~400nm.212.5nm 有强吸收。



7. 3. IR. UR 光谱分析

- (1)3400cm⁻¹是 You,蜂宽而强,系分子间 形成氢键的缔合峰;
- (2)2900cm⁻¹左右系 үс-н, 是饱和碳氢 提动。
- (3)1710cm⁻¹左右,1652cm⁻¹左右,这是腐植酸最为特征的两个吸收峰,它是反映棕黑腐酸化学结构上整别的主要标志之一,后者属于共轭双键吸收,它们的钠盐变成了宽峰,棕腐酸的者强于后者,而黑腐酸的者远小于后者(几乎看不到)。
- (4)1000~1330cm~1为 C-O 特征吸收 蜂, 棕黑腐酸相仿, 吸收强度也相近。
- (5)Falvic acid 6_cm, 1380cm⁻¹是甲基碳 氢弯曲振动,此峰是桦川泥炭所独有的,峰形 锐而强,而桦川棕黑腐酸此峰很小,且两者无 显著区别;
 - (6) 桦川泥炭腐植酸及其盐,皆有

840cm-1的吸收,这说明"组合化学"体系中有 Ri>C=CCH* 样的结构存在,此吸收是 -CH 非平面插摆振动的吸收峰(e很好),而 且从紫外光谱也有力地证明了 200~230nm

有强吸收。此数据说明桦川腐植酸中含有较高组分的 化 2 5 = 6 C k 化 合物,这是桦川泥炭的又一独特之处。这很可能为桦川泥炭腐植酸的药理实验提供有价值的科学依据。

表 5 废植酸钠微量元素含量

•	Fe	Mg	Cit	Zn	Ci	P	Mn	TIO ₈	AlzOs	K ₂ O	Co	Cr	V
X	8. 531	0.414	1.524	0. 687	0. 263	55. 138	11.99	0.705	0.567	85. 00	0.509	0. 20	0. 865
SX	0. 8211	0.0709	0.0452	0.0068	0. 003	0.4817	0.744	0. 526	0.300	0.560	0.821	0. 765	0.040
CV	9.4	4.9	2. 9	1. 0	0. 1	0. 8	6.2	7.2	6.8	5.8	0.80	2. 30	0. 8
样品含 ppm/g	83. 22	4.66	0.998	0.45,	0. 172	36. 82	7.85	10. 26	8.36	95. 0	0. 996	82. 50	0. 100

8. 氨基酸分析

将桦川泥炭粗粉,用水浸泡,过滤,滤液或压浓缩至 1ml,相当于 1~2g 泥炭,加 2倍量乙醇沉淀去蛋白质、糖类等杂质,过滤,滤液浓缩至小体积,然后经过强酸性阳离子交换树脂柱。用 1mot/L NaOH 或 1~2mot/L 氨水洗脱、收集。

用新华滩纸,以n-BuOH-HOAC-EtOH-H₂O(4:1:1:2)展开,用茚三酮试剂,喷后110℃加热至显出颜色(紫色)。有氨基酸存在。

三、微量元素测定

仅器, Icp/6500 美国 PEPKIN — ELMER 公司

四、仰菌试验

[药品检验报告单一]

药品名称:泥炭碱提取液

剂型,液体制剂

检验项目。

杂菌 个/g

不可计

電前 个/g

超限

致病菌个/g

未检出

各注,未经 Com照射的不同 pH 值,均超限(超规定限度百万倍,每菌超规定限度 2~3倍)

· `检验单位:黑龙江中医学院中药厂 检验员:吕秀莲 检查日期,93.5.26

(药品检验报告单二)

药品名称,泥炭醇提取液

剂型:液体 :

检验项目:

杂菌 个/8

未检出

霉菌 个/g

未检出

致病菌个/g

未检出

备注:经 Cose 照射后不同 pH 值,杂菌,霉菌均未检出。

检验单位, 黑龙江中医学院中药厂

检验员:吕秀莲

检查日期,93.5.26

Coss照射单位:黑龙江省物理研究所

五、结论

根据上述报告单可以看出,桦川泥炭中含菌量很高,需找出最佳抑菌条件。用 Com 积 射后虽然可以抑菌,但经含量测定分析结果 表明,黄腐植酸含量降低。

抑菌试验结论:

经 L(31)正交试验结果

因素:溶剂、温度、pH

结果表明,药用腐植酸提取的关键是控制水醇比,当 pH 在 9.5以上时,在常温情况下,杂菌和霉菌皆未检出。

(来源:腐植酸,1994,4:7-9)

黄腐酸钠治疗上消化道大出血

郭训礼 郭延少 郭淑英 丁善甫' 河南省濮阳县两门镇卫生院

李某、男、36岁、干部、1992年11月16日 晚急诊人院。患者罹患慢性胃疼3年、西医诊为浅 表性胃炎。 套喜饮酒、酒后胃疼加重。 本次发病前 因饮酒过量,下午即感脘腹胀满隐痛,恶心欲呕, 始吐出咖啡色液体及食物残渣、继呕鲜血及暗红色 血块、状如喷射、计 11 次、约 1000ml。诊见面色 苍白、头昏目眩、冷汗出、表情淡漠、疲乏无力、 心慌气短、声音低弱、胃中灼热、腹胀满疼痛、口 干、口渴、口臭、四肢发凉、舌红苔黄腻、脉沉细 数无力。体查:体温 37.6℃、脉律 110 次/min, 血压 10.8 / 8.1 KPa、心律齐、心尖区可闻及收缩 期Ⅱ 级吹风样杂音、腹软、胃脘部压痛明显、肝脾 未触及、肠鸣音亢进、实验室化验检查:血红蛋白 70g / L,红细胞 2.2× 10¹² / L。诊断,上消化道大 出血,处方:①爱茂尔注射液2支,封闭足三里, 内关穴. ②黄腐酸钠 15g, 新鲜冷水 1500ml 溶化后 口服、③右旋糖酐 500ml, 706 代血浆 500ml, 复方 氯化钠注射液 500ml, 5% 葡萄糖注射液 500ml, 维生素 C 注射液 3g、维生素 B。注射液 200mg, 辅 酶 A 注射液 100 单位、ATP 注射液 40mg, 10%氯 化钾注射 20ml 静脉输入。药后未再呕血、3 小时 后改为每次口服 0.25% 黄腐酸钠水溶液 25ml, 6 小 时1次、6天后大便潜血试验阴性、40天后经胃电 图、X 光钡餐造影检查、胃内未发现任何病理变 化、追访一年半未见复发。

讨论 黄腐酸钠色黑、性寒凉、味微咸、质粘。功可清热解毒、止血、抑制胃酸分泌、促进胃粘膜和胃粘膜肌层生长、促进溃疡面愈合、扶正祛邪、提高机体免疫能力、又有活血化瘀镇静止疼、消炎、消肿、去腐生肌、调整胃肠机能等作用。佐大剂量鲜冷水、助血管收缩而加速止血。

临床观察,黄腐酸钠对实热型、虚寒型消化道 出血均有良好疗效,没有明显效果差异。故不需辨 证分型。

因胃的空腔大,尤其是胃底及高位出血,必须以大剂量黄腐酸钠水溶液口服,并嘱患者平卧,左右翻转,使药液充分接触溃疡面及伤口,并借其粘滞性及止血功能,方奏奇效。

因黄腐酸钠色黑,口服量大,个别病人看见易 反胃呕吐。需在服药前用爱茂尔 2 支,封闭足三 里,内关穴,以防服药时呕吐,而导致呕血加重。

为防止消化道出血患者发生出血性休克、在口服黄腐酸钠止血的同时给以补充血容量,根据情况需要也可输新鲜全血,以利于出血后机体康复。另外它有消炎控制感染的功能,所以治疗时不需用加抗菌素。

黄腐酸钠是一种新药,它的用法、口服剂量没有明确规定、有时量少效果好,有时量大效果好。另外治疗同一种病、因其产地不同,则作用相反,所以它的适应范围,功能及所治病类还需临床实践中探讨,它的药理作用和用量还需进一步观察总结。

根据临床实践观察的结果,个别病人口服大剂量黄腐酸钠溶液后 30 分钟易出现寒战、发冷现象、肌肉注射 654-2 针剂 10mg 后 20 余分钟、即可自行消失。

板蓝根的栽培与采集

李 煜 郑州化肥厂医务所

板蓝根为二年生草本植物、主根深长可达 5~30cm,根外皮浅灰黄色。茎直立,可达 50~100cm高。根出叶丛生,叶片较大、长椭圆形、基部呈匙状、茎生叶互生,。渐上渐小、叶片基部箭形,半抱茎。

阔总状花序, 花小、直径3~4mm, 无苞, 花

(来源:河南中医药学刊, 1994, 6:50)

黄腐酸与大鼠肝细胞微粒体的相互作用 *

张法浩 李 蓉 许善锦 王 夔

(北京医科大学药学院、北京 100083)

关键词 黄腐酸、微粒体、自由基

我们已报道过黄腐酸(Fulvic acid, FA)可引发大鼠肝细胞产生活性氧自由基^[1],并导致生物体的氧化性损伤^[2]. 但是,作为一种外源性物质,黄腐酸在细胞内怎样转化,通过何种机制引发肝细胞产生内源性活性氧物质,尚不清楚.一般认为,外源性物质多是通过肝细胞内氧化-还原酶体系进行生物转化,进而产生活性氧物质.而此类酶体系多存在于线粒体或微粒体中.本文以大鼠肝细胞线粒体和微粒体为研究对象,研究了黄腐酸与微粒体、线粒体的相互作用过程,并探讨了产生活性氧的可能机制.

1 材料和方法

1.1 实验材料

还原性辅酶 II(NADPH) 购自 Sigma 公司, 二硝基四氮唑蓝(NBT) 购自华美公司, 超氧化物歧化酶 (SOD) 为中国科学院生物物理研究所产品, 其它均为国产分析纯试剂. 黄腐酸 (FA)由中国科学院生态环境研究中心提供, 实验用 Wistar 大鼠由北京医科大学实验动物部提供.

1.2 实验方法

- (1)肝细胞线粒体和微粒体的分离制备.选择 180—250g 雄性 Wistar 大鼠经连续 3d 腹腔注射苯巴比妥钠(75mg/kg·d).禁食 16h 后,断头处死.取出肝脏,参照文献[3] 方法分别制备线粒体和微粒体,并按 Lowry 法例测定制备的线粒体和微粒体蛋白含量.
- (2) 氧自由基检测. 在磷酸缓冲溶液 (50 mmol/L, pH 7.4) 中分别加入微粒体或线粒体 (1.0 mg 蛋白/mL), 37℃ 温育 5 min. 加入 NADPH(1.0 mmol/L) 后用 NBT(50 μmol/L) 还原光度法测定超氧自由基(• O,).
- (3)紫外差谱、将微粒体(1.5mg蛋白/mL)加入缓冲溶液(50mmol/L Na₂HPO₄, 0.10 mol/L NaCl, pH 7.4)中,制成微粒体悬浮液、用 UV-260 分光光度计分别记录加入 FA 前后和加入 NADPH 前后的紫外吸收差谱。
- (4) ESR 谱. 分別在有氧和无氧(通 N₂密闭)条件下使微粒体 (1.0mg 蛋白/mL) 与 FA (25×10⁻⁶)温育(37°C) 2min, 加入 NADPH(1.0mmol/L) 后用 BRUKER ESP-300 型波谱仪记录 ESR 谱.

2 实验结果

2.1 活性氟自由基的产生

图 1 是微粒体或线粒体与 FA 作用体系中的 NBT 还原产物量 (A_{50})的时间变化曲线、由图 1 可见,反应体系中的 NBT 可被还原,并且在加入超氧化物歧化酶 (SOD)后,可明显地抑制 NBT 的还原、提示 NBT 是被反应体系中产生的超氧阴离子 (\cdot O₂) 所还原、说明微粒体和线粒体在 FA 的作用下,有活性氧物质产生,

同时也证明微粒体的活性氧产生量远远高于线粒体.

反应体系 微粒体 线粒体 完全体系 5 100 ± 11.4 15.7 ± 5.6 $+SOD(50 \mu g/mL)$ 37.8 ± 18.0 6.8 ± 3.5 - 徽粒体(线粒体) 8.5 ± 8.0 4.0 ± 4.0 - NADPH 8.2 ± 8.0 8.0 ± 4.5 -FA 14.8 ± 5.1 5.6 ± 3.2 + 咪唑(1.0 mmol/L) 56.5 ± 8.5 9.8 ± 3.0

表1 反应体系中活性氧相对含量*)

a) n=4, 数据为 X±Sx. b) 完全体系中含有 1.0 mg 蛋白/mL 微粒体(或线粒体), 1.0 mmol/L NADPH, 25×10⁻⁶ FA. 其它反应体系均在完全体系的基础上加入或除去一种物质。

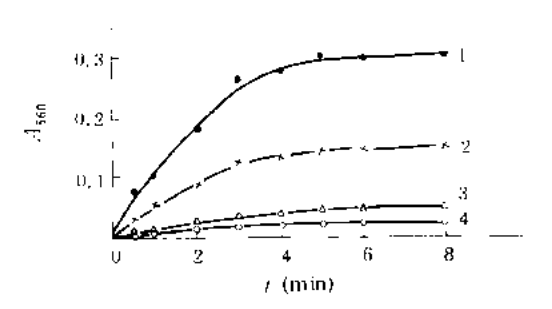


图 1 NBT 还原产物量与时间关系曲线 1 为微粒体 (1.0 mg/mL) + NADPH (1.0 mmol/L) + FA (25×10⁻⁶), 2 为微粒体 + NADPH+FA+SOD (50 μg/mL), 3 为线粒体(1.0 mg/mL)+NADPH(1.0 mmol/L) + FA (25×10⁻⁶), 4 为线粒体 + NADPH+FA+SOD (50 μg/mL)

另外,表 1 列出了各反应体系用 NBT 还原光度法测定的活性氧相对含量的结果(按 FA 和 NADPH 同时作用于微粒体所产生的活性氧为 100 计算).

由实验结果可见,只有 FA, NADPH 和微粒体同时存在的反应体系(完全体系)才可产生大量的活性氧物质,除去 FA, NADPH 和微粒体 3 种组分的任 1 种只产生很少或可忽略量的活性氧. 另外 2 个值得注意的结果是,线粒体产生活性氧的能力非常显著地低于微粒体,提示 FA 引发肝细胞产生活性氧的部位主要在细胞内的微粒体;咪唑明显地抑制微粒体产生活性氧.

不同浓度的 FA 及不同来源的 FA(大骨节病区和非病区的 FA)在 NADPH 存在下与微粒体作用产生活性氧的相对量也有明显差异(表 2),这一结果与我们细胞实验的结果问是一致的.

FA 浓度(×10 ⁶)	5.0	15	25	35	50
病区 FA	14.5±3.7	57.0 ± 6.4	100 ± 11.4	117±13.5	123 ± 11.2
非病区 FA	13.6 ± 4.0	24.5±9.5	53.0 ± 12.7	59.8 ± 10.3	62.9 ± 3.2

表 2 FA 浓度和来源与微粒体产生活性氧含量的关系⁴⁾

a) n=4. 数据为 X±Sx.

2.2 FA 与细胞色素 P-450 的作用

已知咪唑作为细胞色素 P-450 的中心铁离子的 1 个结合配体, 可抑制细胞色素 P-450 的电子传递功能⁽¹⁾ 本文的咪唑可抑制微粒体产生活性氧的结果提示大量存在于微粒体中的细

胞色素 P-450 可能参与了 FA 的生物转化。由 FA 与微粒体作用后的紫外差谱(图 2)可见。在 ≈ 380 nm 有一峰、在 ≈ 420 nm 有一谷,提示 FA 与微粒体中的细胞色素 P-450 分子发生了结合作用^图,并与加入的 FA 浓度呈正相关。

另外,在 FA 与微粒体体系中加入 NADPH 并通人 CO 气体可见 450nm 处出现还原态 P-450 与 CO 结合的特征吸收峰 (图 3),而未加 FA 的体系中未见 450nm 处出现强吸收峰.提示与 FA 结合后的 P-450 更易被 NADPH 还原.

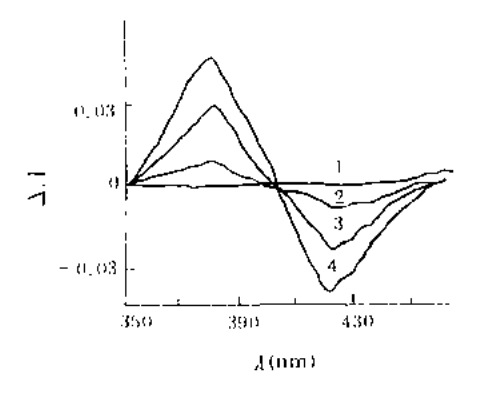


图 2 FA 与微粒体作用的差谱 1 为基线、2 为加入 15×10⁻⁶FA、3 为加入 25×10⁻⁶FA、 4 为加入 50×10⁻⁶FA

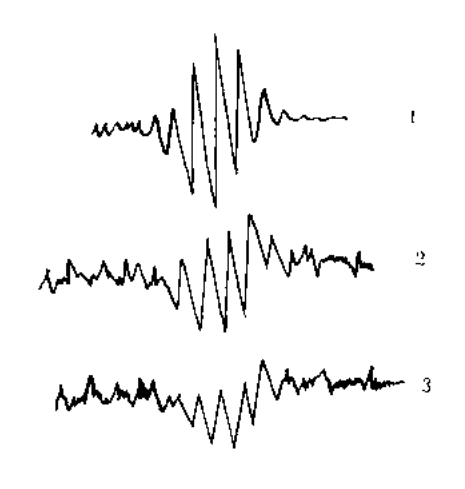


图 4 FA、微粒体及 NADPH 反应体系的 ESR 波谱 1 为无氧条件下反应 5min, 2 为有氧条件下反应 2min, 3 为有氧条件下反应 5min

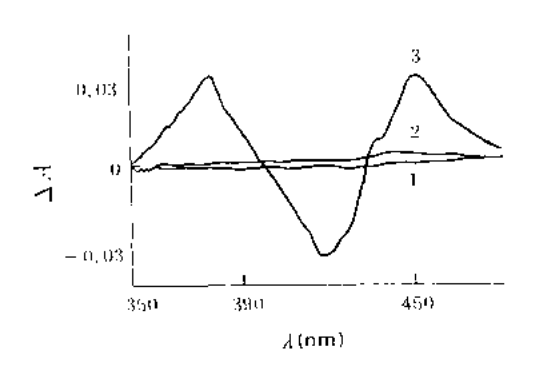


图 3 NADPH 与微粒体作用的差谱(测定前通入 CO)

1 为基线、2 为微粒体中加入 NADPH, 3 为微粒体中加 入 FA 和 NADPH

2.3 ESR 谱与半酯自由基

由 FA 与微粒体及 NADPH 反应体系所 测得的 ESR 谱(图 4)可见,有半醌自由基信号出现,并在无氧条件下可保持信号较长时间(10min)恒定,但在有氧条件下,信号强度较弱并随时间降低. 说明在 NADPH 存在下,与微粒体中 P-450 结合的 FA 可被还原活化为半醌自由基,活性较强的半醌自由基又可进一步与分子氧作用而呈不稳定状态.

3 讨 论

微粒体和线粒体是已知的肝细胞内可发生氧化还原作用的 2 个主要亚细胞组分,在外源性物质的分解、生物转化过程中起重要作用.本文的结果说明,黄腐酸(FA)主要与

微粒体作用而产生活性氧自由基、咪唑能抑制活性氧产生的结果提示了细胞色素 P-450 参与了 FA 的转化的可能性。进一步的实验证明, FA 与微粒体中细胞色素 P-450 发生了结合,并使低自旋态的 P-450 转化为易被 NADPH 还原的高自旋态、半醌自由基的产生可能是还原态的 P-450 分子将单电子转移给已结合在其分子上的 FA、使含醌式结构的 FA 还原的结果。生

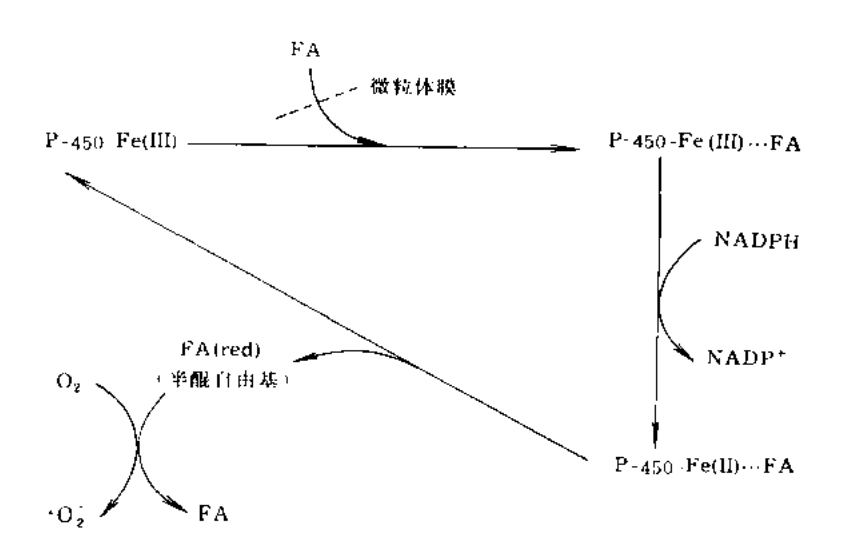


图 5 FA 与 P-450 相互作用及产生活性氧的过程

成的半醌自由基在无氧条件比较稳定而在有氧条件下不稳定的结果说明活性较强的半醌自由基可与分子氧发生反应,而活性氧自由基可能就产生于半醌自由基将单电子再转移给分子氧的过程中.

综上所述,黄腐酸与微粒体相互作用并产生活性氧自由基的可能机制如图 5.

参考文献

- [1] 张法浩等,科学通报,1993,38(13):1235.
- [2] Zhang, F. H. et al., J. Environ. Sci. (China), 1991, 3(4): 48.
- [3] Won, W. D. et al., Appl. Environ. Microbiol., 1976, 31: 576.
- [4] Lowry, O. H. et al., J. Biol. Chem., 1951, 193: 265.
- [5] Testa, B., Jenner, P., Drug. Met. Rev., 1981, 12:1.
- [6] Gibson, G. G., Tamburine, P. P., Xenobiotica, 1984, 14: 27.

(来源: 科学通报, 1994, 20: 1896-1899)

腐植酸和自由基与地方病

I大骨节病、克山病与腐植酸和自由基

郑宝山 余孝颖 邢春茂¹ 孙天志² 马恒之² 黎秉铭 邹申清 张 干³ 王 学 夏雅娟²

(中国科学院地球化学研究所)

腐植酸是环境中界于无机物和有生命物质之间的一类物质,它不仅参与了环境中一系列与人类生存有关的过程,而且与人类的健康有密切关系。由于分析设备和技术的巨大发展,长期以来难以解决的腐植酸测定分析问题逐步得到解决,在这种情况下,腐植酸类物质与许多地方性疾病的关系问题的研究正在逐渐深入。

克山病和大骨节病是典型的生物地球 化学性、地方性疾病。大量研究证实,低 晒和高腐植酸是它们病因中的重要因子。

1 发现克山病、大骨节病病情与病区饮水和环境中腐植酸的含量间呈正相关

远在本世纪初,我国人民已注意到饮水中腐植酸与大骨节病的关系^[1]。1924年原苏联学者对病区饮水进行化学分析时发现,大骨节病病情与水中动植物分解产物含量和水的氧化能力有关。本世纪40年代到60年代日本学者对大骨节病进行了一些研究,认为病区物质是饮水中的阿魏酸和对香豆酸^[2]。1972年又有日本学者否定这一观点^[3]。

林年丰等发现克山病区饮水平均羟基腐植酸含量为0.18mg/L,而非病区和病区非致病饮水中仅为0.08mg/L,差异显著。大骨节病区饮水中腐植酸的含量与病情呈对数正相关关系[4]。谭见安、李继云[5]、张学林、王宗义[6]、吴敦虎[7]等

人得出了类似的结论。

中國科学院生态环境中心彭安教授等人对大骨节病与腐植酸的关系问题进行了连续的研究。通过考察和试验,他们建立了使用树脂(CDX—102)提取水中腐植酸类物质的方法,对病区和非病区水土中的腐植酸进行了红外、紫外、萤光和可见光的光谱研究,并用凝胶色谱测定了分子量分布图 [8]。

2 发现克山病、大骨节病的病情与病区 粮食饮水和环境中晒的含量偏低有关

有关克山病与大骨节病的病情与病区 硒的关系文献甚多,并为研究者们所熟知

¹ 内蒙古自治区地方病防治办公室 2 内蒙古自治区地方病防治研究所 3 中国科学院广州地质新技术研究所

本处不再赘述。

3 证实克山病、大骨节病病区的环境特征 为高腐植酸和低荷

内外环境中腐植酸和硒之间都表现出 拮抗和相互抑制的作用。

中国科学院环境化学研究所白迺琳采用聚类分析、主成分分析、因子分析等多元统计分析方法对永寿县饮水的化学成分和大骨节病发病率间关系进行分析,结论为饮水低硒、高腐植酸是导致大骨节病病情加重的重要因素,而且两者为相互独立的致病因素。在以腐植酸和硒为两个独立变量做出的二维病情分布模式识别图上,病区为高腐植酸低硒,轻病区为低腐植酸高硒。正确归类率分别为87%和90%[11]。

彭安等人发现大骨节病区土壤中80%以上的硒及土壤水提液中30~96%的硒以有机结合态形式存在,并主要结合于土壤腐植酸类物质。病区饮水中硒不仅低而且80%以上与有机物结合。动物饲料中加入腐植酸,则硒的吸收明显受阻。环境中腐植酸的存在降低了硒的生物有效性[12-13]。

任淑芬、张学林等人使用红外光谱进行分析,提出饮水中硒进入腐植酸结构中成键Se = 0、Se-H结合,在偏酸性还原环境条件下,硒为胡敏酸所固定[1*1。曹静祥等对不同硒水平地区的数百份土壤总硒、土壤水溶性硒、pH值和腐植酸总量进行测定,证实土壤水溶性硒与pH值呈显著正相关,与腐植酸含量呈负相关[18]。

1988年张占元等人将试剂腐植酸和亚酒酸钠注射于小鼠腹腔,证实亚硒酸钠可以抑制腐植酸的毒性,提高体内谷胱甘肽过氧化物酶(GSH-Px)的活性^[18]。

彭安等人使用自永寿病区饮水中提取 的黄腐酸对大小白鼠、发光杆菌 T。变种 和人胚软骨细胞进行了试验,发现硒和黄 腐酸间有拮抗作用 [17]。

4 认识到克山病和大骨节病都与自由基的危害作用有关。

腐植酸是重要的外源性自由基物质, 硒是体内重要的自由基清除剂 GSH-Px 的主要组成部分。

1983年李芳生、韩从等人根据病区儿童血液中GSH-Px、LPO、游离脂肪酸、红细胞质膜的总脂、总磷脂和各主要磷脂的组成分析结果,最早提出了生物膜的过氧化损坏问题,认为这是大骨节病的病理机制[6]。

1985年华中理工大学徐辉碧等人运用 电子自旋共振技术直接观察到硒化合物对 生物膜磷脂之一卵磷脂经紫外辐射产生的 脂质过氧化物自由基的清除作用^[18]。

由胜志等人报导,用大骨节病病区 粮食并在饮水中加入病区饮水中提取的富 里酸的饮水喂养大鼠6周后,脂质过氧化 物不仅没有升高,反而显著下降[10]。1990 年王维哲等进一步报导在同样实 验 条 件 下,大鼠血液、心脏、肝脏肌肉中GSH-Px活力显著下降,除肌肉外, 超氧化物 岐化酶(SOD)活力显著升高, 肝脏、 心脏脂质过氧 化 物(LPO)增多,心肌 中减少。动物补硒后, GSH-Px、LPO 趋于正常,但已升高的SOD 改变极少。 在人工培养液中加入硒, 软骨细胞生长加 快,数量增多;加入H2O2,细胞受到损 害、瘦小、数量减少,分裂能力下降;如 在加入H,O,前加入硒,则H,O,造成的 损害减轻或不发生[20+21]。

彭安等人建立了水中自由基浓度的测定方法,发现病区饮水中自由基的浓度高于非病区。从自由基因子值来看,它们与文献中报导的水中黄腐酸相近,具有半配自由基基团结构 [22]。张学林等证实了饮水的自由基浓度与腐植酸含量呈显著正相关 [8]。彭安等人提出大骨节病的腐植酸和自由基致病机制。认为病区水中腐植酸和

芳染粮食的真菌病毒是致病因 子。硒 和 V_B 、 V_c 、SOD等抗氧化剂可以提高人体抗自由基损伤的能力,都是保护性因子。 病区居民中保护性因子不足,致病因子大量存在,导致大骨节病的发生 [23-24]。

1991年他们在动物实验中长期给大白鼠注射黄腐酸,发现骨头颜色及自由基信号与注射剂量呈正相关,荧光光谱、紫外光谱及凝胶色谱对骨组织提取物的研究表明,黄腐酸可沉积于大白鼠骨组织之中。骨中的自由基是腐植酸中的醌式、酚式化合物在分子中或分子间平衡的产物。这种半醌自由基偶联于NADPH(烟酰胺腺呤二核苷酸磷酸盐的还原态,亦称辅酶I的还原态)和氧的反应形成氧自由基,损害软骨细胞和基质中的胶原大分子,认为这是腐植酸引发大骨节病的机制^[25]。

1993年王子健等报导,病区饮水中黄腐酸对体外培养的鸡胚软骨细胞的损伤行为和羟基自由基类似。加入病区饮水中提取的黄腐酸后,鸡胚软骨中脂质过氧化反应增强丙二醛反应物增加 83% , 还原型 GSH—Px下降33.8%, 因此认为病区黄腐酸的损伤作用与脂质过氧化有关 [20+27]。

王**蒙**等人也研究了自由基和黄腐酸对软骨细胞的损伤效应,提出了不同的大骨 节病病理过程。他们认为该过程为,

- (1)外源性自由基源腐植酸、霉菌毒素等引发软骨细胞异常;(2)异常软骨细胞合成并分泌异常细胞外基质;
- (3)在异常基质中发生异常生物矿化,
- (4)异常生物矿化造成骨骼异常,
- (5)自由基同时导致软骨细胞坏死 [28]。

总结起来,大多数学者承认腐植酸是克山病、大骨节病致病因子中的一个,但 对具体的机理则有不同的观点,主要有以 下几种:

(I) 环境中的腐植酸降低了硒的生物可利用性, 从而使人体的有效硒摄入量

不足[29]。

- (2)进入人体的魔植酸可以拮抗硒使其不能发挥正常的生理作用。
- (3)腐植酸是一种外源性自由基物质,可以直接造成人体内生物膜的过氧化损害。
- (4)做为外源性自由基源的腐植酸 导致软骨细胞异常、细胞外基质异常和骨 矿化异常,并造成骨骼异常。
- (5)在氧自由基的作用下,心肌线 粒体内膜结合酶必须界面脂组分的心磷脂 和酶活性降低,从而导致克山病急发乃致 急死^[30-32]。

在腐植酸与克山病和大骨节病之间还有一些关键性问题尚未解决。就大骨节病而言,许多动物实验证实病区粮食可导致实验动物的过氧化损害,病区粮食自由基浓度高于对照区,但是粮食不易为腐植酸新污染或检由粮食人能摄入的腐植酸量,生物可利用性甚低,这是饮水中腐植酸导致大骨节病理论难以解释的。低强和高病植酸既可导致大骨节病又可导致自由基危的电影的,这是可以是一个其它致病因子,它导致自由基危害的。这些致病因子至今不明。这些问题应当是今后研究工作的重点。

参 考 文 献

- 1 対建封。长台山江岗志略 ,1908。 141
- 3 核雞伯 .等。中国地方病防治四千年。第 1 版 ,北京:中国环境科学出版社 ,1990: 55
- 4 林年丰、医学环境地球化学、第 1 版 , 长春; 吉林 科学技术出版社 , 1991
- 5 中共中央地方病防治领导小组办公室编。永寿大骨 节病科学考察文集、第1版,北京。人民卫生出级社
- 6 聚学林 ,等。克山病病区水土环境中有机物研究。 中国地方病学杂志 ,1992; 11(5):291
- 7 吴敦虎,等、吉林省土壤中腐植酸和水溶性富里酸分布特征与六骨节源关系的研究。环境科学学报,

- 1987, 7 (2) : 166
- 9 王维哲,等。大骨节病区饮水中腐植物组分对软骨细胞结构和功能作用的研究。实用地方病学杂志, 1986; (1)46
- 10 尚 柯 ,等。饮水中腐植酸与大骨节病关 系 的 探 讨。中国地方病防治杂志 ,1986; 2 (2):91
- 11 白週琳, 大骨节病区饮水数据多元统计分析。中国 地方病防治杂志,1987, 2(2):95
- 12 彭 安 等,稱与腐植致的拮抗作用。中国地方病 学杂志、1985。 4 (5):267
- 13 王文华, 等。六骨节病病区环境中的有机物。中海 地方病防治杂志, 1990; 5 (1): 9
- 14 任淑芬,敦学林,等。腐植暖与硒作用机理初步研究。中国地方满防治杂志,5(1):34
- 15 曹静祥,等。土壤PH值与腐植酸对水溶性辐影响的研究。中国地方病防治杂志。1984;8(1):74
- 16 张占元、等、陌与腐植酿对实验小鼠存活地及谷胱 计肤过氧化物酶的影响研究。中国地方病防治杂志 1988: 4 (5) 4 299
- 17 徐朝秋,等、晉与廣植酸拮抗作用II教青细胞实验。 第二屆生物无机 化学学术讨论会论义集,长春: 1986
- 18 张罗平, 涂辉碧, 等。华中工学院学报, 1985, 13 (3):99
- 19 由胜志,等。大骨节病区被与腐植酸对动物过氧化物的影响。中国地方病防治杂志,1989; 4(4):213
- 20 王维首, 等。大骨节病的有机物病因及作用机理, 中国环境科学, 1989; 9(3):191

- 21 王维哲。等,大骨节病病区环境中有机物的生物效应研究。中国地方指防治杂志。1994. 5(1):15
- 22 彭 法, 州春林。大青黄霜霜区饮水中自由基的洲 定, 环境化学, 1988; 7:10
- 23 彭 安、大骨节病三种病因说何的关系初探。中国 地方病防治杂志,1987; 2 (3):151
- 24 彭 安,等。大骨节病自由基机制研究。中国地方 病防治杂志、1990、5 (1):28
- 25 杨春林,等,腐植酸对大白鼠骨组织影响的研究。 环境科学。1890。11(8):11
- 26 王子健,等。大骨节病病区黄腐酸对体外培养鸡胚 软骨组织糖氨多糖代谢及脂质过氧化物的影响。中 国地方棕防治療法、1993、8 (6):339
- 27 王子健, 等。羟基自由基对鸡胚软骨组织精氨多糖合成的影响。中国地方病学来志,1993; 13(2) 177
- 28 王 **꽳**, 等。自由基引发的软骨细胞异常基质异常 矿化异常——大骨节病病理生化过程初模。中国地 方病防治杂志, 1990; 5 (I):5
- 29 王子健,等、大骨节痢病区水土中有机物对 硒存在 形态和生物有效性的影响。环境孵學。1981: 12 (4):86
- 30 王 凡, 等, 克山病病因发病机制研究。中国地方 病防治杂志。1990: 5 (6):363
- 31 辛芳生。自由基氧应激与克山病—膜疾病。中国地方病学杂志,1992; 11(2):29
- 32 李芳生, 等。克山病的三个基本致病因子及其帽豆 关系。中国地方病学杂志, 1992; 11 (4):240
- 53 李光秋,等。東山灣衛区粮养动物自由基代謝素及性质的研究。中國地方病防治杂志,1993;8(6) 327

(1994年5月5日收稿)

(来源:内蒙古地方病防治研究,1994,4:4)

微循环障碍的药物治疗

Drugs Therapy on Microcirculatory Disturbance

□文/袁申元*

循环的功能、形态和代谢的完整,是维持人体器官正常功能的重要条件,研究直接参与组织细胞物质交换的微循环变化规律,不仅可了解疾病发生发展机理,更重要的是可为临床分析病情、辅助诊断和指导疾病的防治。40年来国内外的研究表明,许多疾病都伴有不同程度、全身或局部、急性或慢性微循环障碍,面对这些信息的发现。启发临床医师对疾病防治的观念发生转变,除坚持各种疾病传统治疗的同时,还可应用改善微循环障碍的药物作为必要的辅助,以提高疗效、缩短疗程、避免复发。微循环障碍治疗药物种类极多,现择要简述。

7 天然中药类

我国传统的"活血化瘀"中药,都具有改善微循环的作

表 1 栀子对实验各组大鼠脏器血流量的影响(z±s)

组	别		各	賍	98. 167	ıπ	旌	A	指	数		
≥n.	Tr:	胰			肝			¥			小	肠

正常盐水组 2.50±0.34 3.20±1.26 2.19+0.42 2.81±1.31 正常栀子组 3.84+2.02^{1/5}.44+1.27^{2/5} 2.80±1.68 3.64±1.93 胰炎-盐水组 1.47±0.66^{2/5}2.23±0.72^{1/1}1.04±0.49^{2/1}1.40±0.58^{1/1} 胰炎-栀子组 2.55±0.61^{2/5}2.84±0.51^{2/5}1.48±0.51^{2/5}2.39±0.62^{1/5}

注:与正常组比: *** P<0.05, *** P<0.001, *** P<0.01; 与胰炎-盐水组比: *** P<0.01, *** P<0.05, *** P<0.001

用,因其种类不同,作用的侧重面和机理有一定差别。薛全福,等应用微血管血流速度自动测量系统观察丹参、川芎具有明显解除微血管痉挛、使血流速度显著增快的作用,血流量迅速增加,从而改善组织微循环灌注(2)。当归对微循环障碍的改善作用比较温和,次于丹参和川芎。有报导大黄亦具有活血化瘀功能。贾玉杰等认为清热利胆中药栀子可防止实验性急性出血坏死性胰腺炎的胰、肝、胃、小肠血流量的下

[&]quot;北京市同仁医院微循环糖尿病料,邮政编码 100005

降,并使正常大鼠上迷脏器血流指数量一致性增高(表1)、以肝、胰增加最多、提出栀子可用于治疗肝病和急性胰腺炎的科学依据,也为临床微循环领域探索清热泻火中药对微循环障碍的研究揭开了序幕⁽²⁾。

2 提纯的中药

2.7 654-2

为改善剂型、提高药物疗效、将天然中药用现代先进技 术提取、纯化、获得多种改善微循环障碍药物、知名度最高 的是从由莨菪碱中提取的654-2。30多年来、基础及临床学 家大量研究表明此药有多种功能,其作用机理的探索,已从 细胞水平向亚细胞及分子水平发展。现已公认的作用有① 活跃和疏通微循环、改善血液流变行为。它能对抗儿茶酚胺 引起的血管痉挛,抑制粒细胞和血小板的聚集,抑制 TXA。 的合成,其作用环节可能是血栓素合成酶;它还具有减轻内 皮细胞损伤,减少微血管的渗漏,保护红细胞膜,增加红细 腕变形能力和降低血粘度。② 改善细胞代谢、保护细胞功 能。生物膜是物质、能量和信息的总传递和变换的场所、钙 离子在细胞内积聚,是细胞损伤的重要环节。有研究表明 654 2可激活细胞钙泵活性,加快细胞内钙离子转运出细胞 外的速率,使细胞内游离钙浓度降低,血管平滑肌细胞松 弛。莨菪类药也能保护溶酶体和线粒体、稳定这些细胞器的 生物膜,此外,它对部分抑制内毒素对脂质过氧化的刺激, 防止细胞的衰老和死亡有一定作用。③ 改善心功能作用。 通过解除内源性儿茶酚胺引起的体循环小动脉和肺循环小 动脉的痉挛,从而降低心脏的前后负荷。该药又能增加心肌 营养性血流量,并有一定的扩张冠状动脉作用(*)。在有爪蟾 蜍胚胎神经和肌肉培养细胞上,以斑片钳技术研究654-2对 乙酰胆碱受体通道的作用。发现它在微终板电流和单通道水 平上都有明显的可逆性阻断作用,完全阻断神经肌肉接点的 剂量,654-2明显小于阿托品和东莨菪碱,说明654-2有较强 的抗N型乙酰胆碱作用FO。由于654-2具有上述多方面的药 理作用,使它成为治疗微循环障碍的基本药物。

此外,随着临床药学的发展,另一些药物亦很有前途。 2.2 黄腐酸钠(Sodium Fulvate, SF))11服液

它是中药乌金石的有效成分,与其它中药一样,因产地不同,其生物学活性差別悬殊,河南巩义制药厂生产的药用黄腐酸钠有很佳的改善微循环作用,用去甲肾上腺素使金黄地鼠類囊造成微循环障碍模型,滴加黄腐酸钠 lmin 后,细动脉血流速度立刻增快,毛细血管内流速 F始增快时间比细动脉稍延迟2~3min,细静脉流速增快比毛细血管更晚(见表2)。此药同样能作用于因去甲肾上腺素所数微血管口径恢复至,血流量切破等情况。表2可见各参数于用药后口径恢复正常、血流量明显增加,毛细血管数全部恢复至用 NA 前的正常水平[1]。实验证明此药能明显增加小鼠心肌营养性血流量[5]及沙土鼠脑血流量。此药属中药范畴,其突出优点为①对血管内血流有"活血"作用,一旦血液在病理情况下流出血管(即出血时),其止血效果甚好,②无任何毒制作用。

2.2 心脑舒通

蒺藜甾体皂甙又名心脑舒通(简称 Tss), 已发现该药具

表 2 黄腐酸钠对金黄地鼠螃蟹微血管流速的影响33

		用NA前	NA Æ		给	件	F	
		HI NA III	10min]min	3min	5min	10min	20min
微	SF	0.60±	0.10±	0.26士	$0.30\pm$	0.35+	0.35 ±	0.39±
-1.	(8)	0.05	0.06	$0.03^{\rm D}$	0.0321	$0.04^{\rm m}$	0.030	0.08
زلد	NS	$0.65 \pm$	$0.09\pm$	0.12±	$0.11\pm$	0.13±	0.14+	0.17±
脉	(6)	0.06	0.05	0.04	0.02	0.04	0.05	0.05
3	SF	0.39 †		0.01+	$\textbf{0.16} \pm$	6.18±	0.23 <u>+</u>	0.20±
细	(8)	0.08	0	0.03	0.07	0.051)	0.060	0.04
ML	NS	0.321				•		0.09±
13	(6)	0.05	0	0	0	3	0	0.05
微	SF	0.43 +	0.19 +	0.24±	$0.25\pm$	0.25 i	0.23 :	0.43.
	(8)	0.02	0.05	0.10	0.05	0.02	0.05	0.070
静	NS	0.36±	$0.11 \pm$	0.141	0.11+	0.21+	0.20±	0.15+
脒	(6)	0.03	0.03	0.04	0.07	9.07	0.06	0.05

注:组间比较: PP<0.05, PP<0.005, P表中括号内为动物具数

衰 3 心脏舒通对常压缺氧2周后大鼠肺动脉高压诸参数的影响

	対照组 (n=10)	常用缺氧组 (n=12)	心脉舒通组 (n=8)
平均肺动脉压 (kPa)	2.99 ; 0.41	3.69±0.47D	2.85±0.43 ²³
平均右室压 (kPa)	3.38±0.53	4.61±0.830	3.47 ± 0.5429
右室重/左室 小 室间隔重	0.28 ± 0.04	0.40±0.081	0.33 ± 0.033
RBC(102/L)	9.13 ± 0.45	$12.21 \pm 2.61^{\odot}$	9.33 ± 2.13^{33}
血球压积(%)	39.64±2.94	53.22±4.021)	47.12±5.673)

注: 与対照组比: P < 0.005: 与缺氧组比: 3 P < 0.005, 3 P < 0.05

2.3 天保宁(Taponin)

天保宁是在国内6911(银杏叶片)的基础上,以国际现代 先进提取技术,参照国际银杏制剂的质量标准,借鉴国外药 理和临床的研究结果研制成的新药,其制剂在法、德、美、 瑞士、瑞典、荷兰、比利时等国均已有产品,1982年(法国)、 1984年(前西德)均跃居心血管系统药品产量第一位。我国银 杏叶出口占中药材首位,其中浙江康恩贝制药公司已研制成 制剂,其质量符合国际标准,已有出口。

天保宁的主要成分为黄酮甙类和银杏苦内酯 (Ginkolide),前者以清除氰自由基而具有治疗作用,后者具 有选择性拮抗血小板活化因子(Platelet activiting factor. PAF), PAF 是迄今所知最强的血小板活化剂,导致血小板 聚集和血栓形成,可收缩冠状动脉、减少冠脉血流量、还可 刺激自细胞、血管内皮细胞产生氢自由基、使细胞膜脂质过 氧化,致细胞破损死亡。游江医科大学附属第二医院脑血管 膨研究室的资料证明, 冠心病者 IT服 天保宁 (月后, 红细胞) SOD 活性明显升高和血浆过氧化脂质、红细胞过氧化脂质 含量都明显降低(P<.0.01,表4),天保宁清除自由基作用主 要依赖于银杏总黄酮甙,其母核中含有还原性贮基功能基 团,可直接清除和捕捉自由基,对自由基起一种领原子供体 的作用而终止自由基连锁反应链,阻止自由基反应的病理性 加剧^[6]。银杏叶提取物除银杏总黄酮甙外、另一成分为银杏 内酯, 柏基(1984, 法)发现银香内酯为强血小板活化因子 PAF 拮抗剂, PAF 拮抗剂是1980年代以来国际上新药研究 开发的热点,体外试验证实 PAF 诱导兔血小板聚集所需剂 量约为 ADP 的1/1 000。 丹參能使 ADP 诱导的血小板聚集有 明易解聚作用,但对 PAF 诱导的血小板聚集的解除作用较 差;而天保宁剂量以升参1/1000给药,对 ADP 及 PAF 诱导 的血小板聚集都有十分明显的解聚作用。总之,天保宁已肯 定的药理作用有。(f) 具有高效的拮抗 PAF 引起的血小板聚 集、微血栓形成和脂质代谢紊乱的作用,是天然的特异性 PAF 受体拮抗剂。② 清除自由基的生成,抑制细胞膜脂质 过氧化、提高红细胞 SOD 活性、防止内皮细胞受损。③ 增 加红细胞变形能力,降低血液粘度,改善微循环障碍。(1)对 心脑代谢及微循环有良好的作用印。

表 4 天保宁的抗自由基作用

	材照组	給資料(n=76)						
	(n = 60)	治疗前	治疗后					
E SOD U/g•lib	2013.75 + 187.24	1845.51 + 67.971	1936, 49 + 76, 81235					
P LPO umol/L	11.52++.83	13.63 (1.02 ¹⁾	11.81±0.98***					
E LPO	32.61±3.31	35.41 ± 1.72^{o}	$33.15 \pm 2.04^{\circ 33}$					

注: 与対照组比: ロアール 01、ロアー0.05; 与宿疗组自身比の P

2.4 东菱精纯克拴酶(DF-521)

新型强力单成分溶血栓微循环治疗剂,以单组分、纯度高而优于蝮蛇抗栓酶。主要作用是增强纤溶系统活性、改善血液流变性,间接使溶栓作用快速、有效,但治疗中要防止和警惕出血;因内正在进行系统的临床研究。

3 西药类

3.1 胰激肽释放酶(又称血管舒缓素, Kallikrein)

是一种蛋白水解酶,广泛存在于哺乳类动物和人的组织中,其中胰腺含量最高,故从猪胰中提取,制成片剂(简称TPK)。TPK 在体内作用于激肽原(Kininogen)而释放出激肽(Kinin),激肽能扩张血管、色细血管,使血管平滑肌舒张、

改善機循环和调节血压,它也是一种活化因子,能激活纤密 酶原成为纤溶酶,后者可使不溶性的纤维蛋白水解成可溶性 小肽,从而有利于血栓溶解,作用比尿激酶缓慢。因外1970 年代已开始研究并用于临床,国内由常州生物化学制药厂研 制并生产,经上海、南京、江苏、四川、河南、北京等30多个 研究单位及医院研究及应用后发现该药有以下作用:

3.1.1 对微循环的影响 TRK能改善小动脉痉挛,扩张毛细血管,降低全血和血浆粘度、是治疗微循环障碍的良药。 我院微循环糖尿病科对确诊为 I 型糖尿病者,除给降血糖药外,加用 TPK,3次/[1、每次1121U(2片),初步发现给药前甲囊总积分值7.86±0.63。治疗2月后降为5.27±0.35(P<0.01)。血流速度由治前0.23±0.02mm/s、升为0.33±0.02mm/s(P<0.01)。江苏省中医药研究所对39例冠心病者用TPK治疗后,血液粘度明显下降(表5)。实验证明对大鼠肠系膜微循环有明显改善作用。

表 5 冠心病患者 TPK 治疗前后血液粘度的影响(注±s)

	治疗前	治疗后	P	僋
红细胞压积(另)	44.5 ± 4.7	12.3 ± 1.2	<0	0.05
全血比粘度	4.61 ± 0.92	4.06 F 0.53	< (0.01
血浆比粘度	1.78 ± 0.08	1.71 + 0.14	< 0	0.05

3.1.2 对血压的影响 德国学者观察到 TPK 可使高血压病 人服药2周后血压开始下降,8周后血压下降最满意。并使此 类患者24h 尿前列腺素 E-排出量明显提高。华西医科大学附属第一院心内科以 TPK 治疗40名高血压病患者,其收缩压治前平均22.3+2.7kPa,治后为18.7±2.4kPa,舒张压治前为14.3kPa,治后为12.0kPa,收缩和舒张压二者 P<0.001。在降压的同时症状好转很明显。

3.1.3 对心脏的影响 TPK 对小动脉和微血管有扩张作用、将会减轻心脏后负荷。王道生等以小剂量、中剂量及大剂量观察 TPK 对犬左室心功能的影响、结果发现小剂量 TPK 0.01mg/kg 时具有对心脏正性肌力作用,而大剂量0.5 mg/kg TPK,可使血压下降。有一定负性肌力作用,对豚鼠和家兔离体心脏灌注、也发现能增强心脏收缩力、减少心肌耗氧量。

3.1.4 对脑血管的影响 据初步研究,TPK 对缺血性脑血管病有较好的疗效,总有效率为93.8%或90.66%。其作用机理企 经 TCD 证实 TPK 使领动脉和推动脉的血流量增加,② 推测为可使脑微循环改善。有人正在这一领域作深入研究。

总之,此药口服方便、无副作用,药效肯定,可广泛应 用于高血压病、缺血性心脑血管及周围血管病,笔者更重视 其对缺血性眼底血管病及肾微循环障碍的治疗作用。

3.2 钙通道阻滞剂(CaA)

第一代 CaA 是异搏定 Isoptin 和心痛定 Nifedipne、后者属于二氢吡啶类 CaA、其作用主要是阻止钙离子内流、防止细胞内钙超负荷。因为细胞内 Ca 通道的阻滞,可使血管痉挛解除而具有降血压作用。但此类药对心脏有负性肌力作用,心衰患者要慎用。

第二代 CaA 药种类很多,除选择性作用于一定脏器外,

逐新向长半衰期发展。其共性为具有降血压作用,故亦可改善微循环障碍。其中尼莫地平主要作用于脑血管,尼群地平(nitredipine)主要扩张外属动脉血管,属长效 CaA。陈顺存等研究认为小剂量尼群地平可选择性作用于肺循环而治疗肺动脉高压^[2],它对超状动脉血管作用弱。尼卡地平(Nicardipine)是二代 CaA 的典型代表,具有对血管组织选择性强而对心肌组织选择性差,故对全身和冠脉有较强的扩血管作用,它可增加超状动脉血流量,截少全身血管阻力,其负性肌力作用很弱而能增加心输出量。此外氦氮地平(Amtodipine)是每天只服一次的新一代 CaA,具有突出的血管选择性而对心肌收缩力无影响,对轮、中度心衰及肾功能受损者也无禁忌,是目前最理想的 CaA,推测对微循环障碍有效,但这方面文献较少,值得进一步研究。

表 8 血管紧张素转换酶抑制剂药物种类和特点

	ACEI 类型	毎日利量	降压 作用	治疗 心衰	轻中度 骨损害
Captopril 卡托普利	— 第⋯代	25mg.3次/日	++	+	慎用
Enalapril 依那費利	第一代:	5~10mg,3次/日	ŀţ	lı.	慎明
Enalapril 悦宁定	第二代 2	.5~5mg.3次/日	:11	1 	of III
Citazapril 抑平舒	第三代 2	.5~5mg.1放/日	Ħ	##	미태

3.3 血管紧张素转换酶抑制剂(ACEI)

是一类很有前途的降压药物,其作用抓理是抑制血管紧 张素转换酶,阻断血管紧张素 1 形成血管紧张素 1 、后者是 强力的血管收缩剂。ACEI 药物、近年来发展很快,共同具有 三方面主要作用:① 减少外周血管系统阻力。② 对心脏能 增加心脏输出量,保持心率,保持心肌收缩力。③ 对肾脏有 益,能增加肾血流量,保持肾小球滤过率。ACEI 更新的主要 目的是: ① 提高药物疗效, 如第二代的依那普利作用强度 是第一代开搏通的4倍、② 向作用维持长的方向发展,如第 三代的抑平舒能持续24b 优异的降压效果,故每日服用一次 即可。③ 加强防止高血压对心、肾、脑等重要器官的损害 (表6)。其中第三代 ACEI 的抑平舒, 可同时预防血管壁中层 的增厚现象, 阻断高血压、血管壁增厚与血管弹性降低三者 间的恶性循环。悦宁定的研究表明可减轻左心室的前后负 荷,提高左室射血分数和运动能力,可治疗并延长严重心力 衰竭病人的生命,降低死亡率40%,缩短住院时间,提高生 活质量。依那普利、悦宁定及抑平舒现已肯定为很有效的降 血压药,对心泵又有正性肌力作用,国外研究对微循环障碍 有明显的改善作用,是西药中改善微循环障碍的又一类理想 药物。其与中药类或中药提纯的诸药对微循环影响作用的比 较,尚有待进一步研究。

参考文献

1 袁申元,薛全福,朱良湘,等,山莨菪碱、黄腐酸钠及活血益气中药对微循环影响的实验研究,见;陈文杰,等主编,微循环的理论和应用,北京;人民卫生出版社,1987,219。

- 2 贾玉杰,姜妙娜,妻注恺,等,栀子对大鼠出血坏死性胰腺炎早期内脏血流的影响,中国中药杂志,1993,18(7),431。
- 3 吴蠡荪、魏新民、杨国栋、等。莨菪类药物的临床药理作用。 见:杨国栋、等主编、微循环障碍与莨菪类药物的临床应用、北京:人民卫生出版社,1989,167~181.
- 1 赵春林, Ron S, 刘传贵,等,由莨菪酸对乙酰胆酸受体通道的阻 新作用,中国研理学报,1993,14(2):390~192.
- 5 昌武琪,袁申元,袁盛榕、等。黄腐酸納对小鼠心肌营养性血流 量的影响。北京医学、1984。
- 6 Clostre F. From the body to cell membrane; the different levels of action of Ginkgobiloba extract. Presse Med., 1986, 25 (9): 1529 ~ 1538.
- 7 Guillon JM, Rochette L, Baranes J. Effects of Ginkgo biloba extract on various in vitto and in vivo models of experimental myocardial is chaemia. La Press Mod., 1986, 25(9):1516~1519.
- 8 蘇顯存, 钟椒椰, 侯 恕,等, 尼群地平对猪急性低氧肺动脉高 压和血流动力学的影响。中华医学杂志,1992,72(5);296~ 298。
- 9 Sharpe N. Murphy J. Smith H. et al. Treatment of patients with symptomiess left ventricular dysfunction after myocardial infarction. Lancet, 1988.

□ □ □ □ □ 本文收稿:1994-08-22 编辑: 曾 飞

(来源: 微循环学杂志, 1994, 4: 4)

黄腐酸抗心律失常的实验观察

白建平^① 于肯明 李月英 王淑华 (药理教研室)

摘要 这篇文章报道黄腐酸对实验动物的抗心律失常作用。结果表明黄腐酸能明显缩短由氟化钡诱发大鼠心律失常持续时间(P<0.01)。使鸟头碱诱发大鼠心律失常出现时间推迟(P<0.05)。使氟仿诱发小鼠室颤发生率比对照组降低(P<0.01)能对抗肾上腺素诱发的心律失常作用(P<0.05)作用机制有待于有进一步研究。

关键词 心律失常 黄腐酸

Esperimental Observation of humic Acid Antiarrhythmia

Bai JianPing, Yu Kenming, Li Yueying, Wang ShuHua

Abstract This article reports antiarrhythmic effects of humic acid in animal experiment Result prove that humic acid can shorten arrhythmic sustained time induced by Barium Chloride (P<0.01). postpone occurrence of arrhythmic iduced by aconitine (P<0.05) lower incidence of ventricular fibrilation induced by chlorform (P<0.01), resis arrhythmia induced by adrenaline (P<0.05). The machanism of effect remain to be reseach furtter.

Key words arrhythmia Humic acid.

黄腐酸(Humic acid)又称腐植酸,由自然界中植物残体腐介后产生。从1786年Achard发现腐植酸以来,各国对其进行了大量的研究工作,在工农业,医学的实际应用方面取得了不少成果。据报道,黄腐酸有抑菌、消炎、抗病毒,抗肿瘤、抗溃疡病,抗煤粉尘致病等作用[1~3]其对心脏的作用也有不少报道,但对实验性心律失常作用,国内外未见报道。本文报道黄腐酸在这方面的作用。

药品:黄腐酸纳由大同利群制药厂提供,乌头碱系西德 E·merck 产品,其它药物均为市售 医用品。

实验动物:由本校动物房供给。

2 方法与结果

2.1 对氯化钡诱发大鼠心率失常的影响 大鼠 18 只,体重 150~200g,随机分为两

实验材料

① 白建平:女,40,讲师,大同医专药理教研室,037008

组。水合氣醛 0.4g/kg 腹腔注射麻醉后,记录正常心电图。然后分别静脉注射腐酸 20mg/kg (1%)或等量生理盐水,5min 后,分别由股静脉快速注射氯化钡 3mg/kg 引发大鼠心律失常,(主要表现为双相性室性心动过速)。结果给药组与对照组大鼠心律失常发生率分别为 56%与100%(P<0.05),心律失常持续时间分别为0.85±0.4 与 9.06±3.5 分(P<0.01),表明黄腐酸不仅可降低氯化钡所致大鼠心律失常的发生率,而且可明显缩短心律失常持续时间。

2.2 对乌头碱所致大鼠心律失常的影响

大鼠 18 只,体重 150~200g 雌雄兼用,随机分为两组。25%乌拉坦 1. 25g/kg 腹腔注射麻醉后,给药组股静脉注射黄腐酸 20mg/kg(1%),对照组给等容积的生理盐水,5min 后股静脉恒速注射乌头碱 20ug/kg。结果两组均观察到室早、室速、房朴、房颤等心律失常,但药物组能明显推迟心律失常出现时间。给乌头碱后,心律失常出现时间,对照组为 1. 83±0. 83分,药物组为 3. 53±1. 51(P<0.05)。

2.3 对氯仿诱发大鼠室颤的影响

小鼠 20 只,体重 20~25g,随机分为两组,给药组腹腔注射黄腐酸 100mg/kg,对照组等容积的生理盐水。30min 后,将小鼠放入含有 1ml 银仿棉球的 500ml 烧杯中,以后每换一鼠加0.5ml 银仿,当小鼠呼吸仃止后,立即记录其1导心电图,观察有无室颤,计算室颤发生率。结果对照组为 70%,给药组为 10%(P<0.01)。

2.4 对肾上腺素诱发家兔心律失常的影响

家兔 18 只,体重 2~3kg,雌雄兼用,随机分两组,分别记录正常心电图。然后给药组耳静脉注射黄腐酸 5mg/kg(1%),对照组等量生理盐水。5min 后,分别由耳静脉快速注射肾上腺素50mg/kg(0.01%)。观察两组动物室性异位节律发生率。结果对照组为 100%,给药组为 67%。两

组比较有显著性差异(P<0.05),表明黄腐酸有明显对抗肾上腺素诱发心律失常作用

2.5 对大鼠正常心率的影响

大鼠 20 只,体重 150~200g,雌雄兼用,随一机分为两组,乌拉坦麻醉后,给药组股静脉注射 黄腐酸 20mg/kg,对照组等量生理盐水,通过心电图观察心率,对照组为 395.0±21.5次/分,药物组为 395.6±19.2次/分。两组比较,无显著性. 差异(P>0.05)。

3 讨论

本文观察到黄腐酸能明显缩短由氯化钡诱发大鼠心律失常持续时间,使乌头碱诱发大鼠心律失常出现时间推迟,使氯仿诱发小鼠室颤发生率比对照组降低,有明显抗肾上腺素诱发的心律失常有面可能有一定价值,其药源广,价格低,应进一步研究,推广使用。据报道氯化钡,乌头碱诱发的心律失常与使用。据报道氯化钡,乌头碱诱发的心律失常与其兴奋β受体后,促进Na+太量进入心肌细胞有关(+)。提示黄腐酸的抗心律失常作用机理可能与其阻止肌细胞Na+或Ca+内流,稳定细胞膜有关。详细机理,有待探索。

参考文献

- 1 陈详银,等, 黄腐酸钠对角叉菜胶致胸膜炎作用的实验研究, 生理科学, 1988, (1): 4~44
- 2 黍爱华,等. 腐植酸治疗慢性外阴营养不良 100 例临床 分析. 实用医学杂志,1988,(1),12
- 3 刘玉莲,等,药用腐植酸钠治疗轻度烧伤,成都医药, 1988,(1):47~48
- 4 张宝恒,等,药理学进展(心血管药理分册),北京,人民 卫生出版社,1980,142~149。

(1994-03-02收稿:1994-06-16勞團)

(来源: 大同医专学报, 1995, 1: 8-9)

北京风化煤腐植酸钠浴

治疗类风湿性关节炎 120 例疗效观察

扶養文

五传业

张国欣

(北京市海淀医院) (兴城铁路疗养院) (北京局仁医院)

近年来,腐植酸应用于医疗,国内外均有一些报导。国外泥炭浴对关节痛病、静脉炎等的治疗均收到良好疗效印。国内对腐植酸的研究经动物实验也证明了它有明显的抗炎和调节机体免疫功能等作用[18],而属于免疫性疾患并以炎症、疼痛和致残为特征的类风湿性关节炎迄今尚无理想的治疗方法。为此我们自 1982 年以来首次试用了北京风化煤腐植酸钠(以下简称腐钠)进行温水溶观察并初

步获得了一定疗效。结果汇报如下:

一、材料与方法

1. 一般资料

本观察病例为住院或门诊确诊治疗的共 150 例。其中腐钠组——住院病人 87 例,门 诊病人 33 例,矿泉水加蜡疗组(对照组)—— 住院病人 30 例。年龄、性别、病程与病变分布 见表 1。

542 I	患者性别、	<u>ተተ</u>	rinn 子宫	存越八九
マスト	患有性剂、	. 41 -1000 ,	、为九个王,	动宜分仇

组别	例数	性别		年龄(岁)		病程(年)			病情(度)		}	
	١.	171	女	14~ 34	35~ 50	51 以上	1 ~ 10	11~	21	tre.	.;,	Ų
		男						20	以上	经	41	
腐钠住院组	87	24	53	29	46	12	65	19	3	10	48	29
腐钠门诊组	33	10	23	2	9	22	25	7	1	8	20	5
腐钠对照组	30	11	19	7	15	8	23	6	ì	10	18	2

由表工看出,一般分布多以中度病情 10 年内之中青年病人为多,各组情况相仿。

2. 诊断标准

参照美国风湿病学会(ARA)的 1964年 修订的诊断标准,即:

- (1)清晨有关节活动发僵;
- (2)关节有活动痛及压痛;
- (3)关节肿胀:
- (4) 多关节肿胀(三个月内连续出现);
- (5)对称性关节肿胀;
- (6)皮下小结;

- (7)有特征性之 X线所见;
- (8)类风湿因子阳性;
- (9)关节液粘蛋白凝固试验不良;
- (10) 滑膜的特征病理组织所见;
- (11)皮下小结的特征性病理组织所见。

以上 11 项标准具有 5 项以上者即可诊断为类风湿性关节炎。本病例符合该诊断要求并全部病例有 X线诊断所见。

- 3. 药物与观察项目
- 3.1 药物:系采用北京杨砣矿腐植酸厂 生产的斋堂风化煤腐植酸钠粉剂,经本院制

剂室提纯并参考国外褐煤提取物稀浆液用量 和中科院化学所调配水浴药量方法。

- 3.2 浴疗方法:将80克腐钠粉剂放入100 升水的浴盆中,水温控制在38℃~40℃(pH8)左右,令患者浸浴20分钟,每周5次,30次为一疗程,依病情需要可连续浴疗至2~3个疗程。对照组采用兴城矿泉水加蜡疗法,要求同上。
- 3.3 观察项目:晨僵、疼痛、压痛、疲劳 感恢复时间、关节肿胀、畸形、功能障碍、握力 与 20 米步行时间检测;化验;血沉(魏氏法); 类风湿因子(乳凝法),免疫球蛋白(琼脂单向 扩散法)和尿十七羟固醇(醋酸正丁醇法)。

二、结果

1. 疗效标准

1.1 治愈——发热及全身症状消失;关 节肿胀消失;可有残留的功能障碍(但非炎症 和肌紧张所引起)不再出现其它部位病变,各类化验基本正常,能恢复原职工作。

- 1.2 显效——发热消失,全身症状明显 好转,关节红、肿、热痛症状基本消失,可有非 可逆性关节肿大或肥大,关节内外均无新的 病变。
- 1.3 有效——显效各条标准均有不同程度的改善,可见全身或局部的功能进步;能恢复部分原职工作。
- 1.4 无效——类风湿活动性及机能均 无改善;患病关节症状复发或其它关节又发 现新炎症;停浴—个月病情复发同浴前程度 者。

2. 疗效结果

腐植酸钠(下称腐钠)腐钠二组与矿泉水加蜡疗组以症状、体征和化验检查比较其效果见表 2-7。

组别 例数	例数	· 疗效				
		治愈(%)	显效(%)	有效(%)	无效(%)	- (%)
腐钠住院组	87	0	* 28 33. 1	* 49 56.3	10 11	88. 4
腐钠门诊组	33	0	* * 9 27.2	* * 19 57.6	5 1 5. I	84. 8
腐钠对照组	30	0	1 3.3	16 53.3	13 43.3	56.6

表 2 三组疗效比较

 $X^2 = 12.37$ P<0.01* $X^2 = 4.31$ P<0.05**

通过表 2 看出,腐钠住院组与对照组相比,经统计学处理 P<0.01,差异有非常显著性,即腐钠住院组疗效优于矿泉水加蜡疗组,腐钠门诊组与对照组相比,经统计学处理 P<0.05,差异有显著性,即腐钠门诊组疗效亦优于矿泉水加蜡组。且腐钠两组显著率也较高。

凡浴疗前服用激素药物者,浴中虽然药 用有减量,但尚未达到完全停服者,按无效统 计之。

疼痛、肿胀、晨僵腐钠组与对照组相比,P<0.01,功能障碍腐钠组与对照组相比,P<0.05,从而看出腐钠住院组浴后症状改善人数多于矿泉水加蜡疗组;腐钠门诊组浴后症状改善人数亦多于矿泉水加蜡疗组的人数。且疼痛、肿胀、晨僵浴后改善的人数多于功能障碍改善的人数。

表 3 浴疗前后临床征象比较

组别	例数	疼痛((人)	肿胀((人)	. 晨優(人)	功能障	碍(人)	_
		浴前	浴后	浴前	浴后	浴前	浴后	裕前	浴后	_
腐钠住院组	87	87	42	72	23	71	31	71	49	
腐钠门诊组	3 3	29	17	2 6	11	33	10	12	5	
腐钠对照组	30	27	23	23	18	21	13	16	11	

表 4 各组"血沉"、"类风湿因子"化验比较

组别	例数	例数 血沉>20mm/h		类风湿因子阳性		
		浴前	浴后	浴前	浴后	
腐钠住院组	87	66	42*	68	50**	
腐钠门诊组	33	28	21	26	20	
腐钠对照组	30	19	18	25	25	

P<0.05° P<0.01°°

通过表 4 看出, 腐钠两组分别与矿泉水 加蜡疗组比较均有统计学意义,P<0.05*和 P<0.01**,即腐钠两组的"血沉"浴后有显

著下降,类风湿因子效价有明显下降,除此还 进行了免疫功能的有关方面测定,结果见表

表 5 腐钠两组浴疗前后征象比较

观察项目	病例来源	例数	均值士标准差	<u></u>	P 值
			浴前	浴后	
早優时间	住院	71	313.6±34.9	108.1 \pm 18.8	< 0. 01
(分)	门诊	· 31	未查	未查	20.01
关节压痛数	住院	87	16.5 \pm 1.0	8.4 ± 0.9	<0.01
(个)	门诊	28	7.0 \pm 0.4	2.8 ± 0.3	< 0.01
关节肿胀数	住院	72	8.8±0.6	3.7 ± 0.4	<0.01
(个)	门诊	26	6.8±0.5	1.9 ± 0.4	< 0.01
关节功能障碍	住院	71	9. 0 ± 0.5	5. 8 ± 0.7	<0.05
(个)	门诊	12	5.0 ± 0.5	3. 1 ± 0.1	<0.05
关节畸形数	住院	65	5.0 ± 0.5	4.6 ± 0.4	>0.05
(个)	门诊	16	2.8±0.1	2.4 ± 0.1	>0.05
左手握力	住院	72	13.8 \pm 4.5	27.3 ± 1.2	<0.05
(磅)	门诊	18	18.5±1.1	23.3 ± 1.0	<0.05
右手握力	住院	72	18.0 \pm 1.1	23.4 ± 1.0	< 0.05
(磅)	门诊	18	18.5 \pm 1.0	23.5±1.0	<0.05
20 米步行时间	住院	64	78.7±9.6	60.9 ± 6.9	<0.01
(秒)	门诊	16	92. 2±4. 6	60. 1 ± 2.3	<0.01
疲劳恢复时间	住院	68	497.7±46.1	143.1 ± 12.1	<0.01
(分)	门诊	18	753 ± 12.0	259 ± 5.5	<0.01

通过表 5 看出,腐钠两组浴疗前后自身 即腐钠浴疹可改善一些该组临床征象。 征象比较,除关节畸形外,均有统计学意义,

表 6 1	20:01 医	钠钠	冷霉菌	后争	皮球蛋白	测定
-------	---------	----	-----	----	-------------	----

免疫球蛋白	正常但 mg % 士标准差	浴疗前 mg % · 士标准整	洛疗后 mg% 士标准差
IgG	1457±361	2900±580	1867±540 ****
IgA	204土170	\$50±142 含 。	$329 \pm 11!$
IgM	119±65	199士108	197±35

		1 1 1 2 3 5
寒?	- 120 例廢钠组浴疗前后尿	――17 以下の確立がスト
71X /	・ じんひ ひりかめ キャマン・ファイエ はけ カーカド	

		A 144 d 64 144 T 1 4 1 1 1 1 1 1 1 1 1 1 1 1 1 1	· / 4 == 143 / 44 / 1 M	
尿17 羟固酮 (人数)	亨 正常位 mg%/24h	浴疗前 X±SD mg %/24h	浴疗后 XSD mg%/24h	P值
住院病人	5. 5~12	7.344±0.41	0.39±0.32	<0.05
门诊病人	5.5~12	7.88±0.60	9.78±0.91	<0. ₫5

浴前与正常值比较, IgG < 0.05; IgA < 0.05; IgM < 0.05, 浴后与浴前比较: IgG < 0.05;IgA>0.05;IgM>0.05。即免疫球蛋蛋后棒,捆笼垂体肾上腺皮质功能有关或是腐植 白 IgG、IgA、IgM 浴疗前均离于正常值,P<使感,酸直接作用的结果,因为腐植酸对切除双侧。 0.05,浴疗后 IgO 比浴疗前下降 P<0.05。

通过表 7看出, 尿 17 羟固醇浴疗后较浴 疗前明显增高P<0.05,同时还对蛋白电泳 进行了测定比较,两组的,区线检查也进行了 对比,经统计学处理,二项结果差异无显著 14.

三、讨论

上临床研究表明北京风花煤腐植酸钠浴 对类风湿性关节炎,,以临床症状,体征及有 关化验指标看,均显示出它的治疗作用:从疗 效结果看,腐钠两组有效率分别为88.4%和 81.9%;而矿泉水加蜡疗纽有效率是56. 6%。在疗效分析中看出关节功能障碍轻者较 重者疗效好,因为关节功能障碍明显者除有 局部炎症外,往往已伴有骨质的破坏,引起了 关节强直或固定,故疗效较以炎症为主的要 差,以及临床症状恢复虽然显著者,但 x 线 特征性所见尚无明显改善,因为我们观察时 问尚短,远期疗效有待进一步观察。

2. 腐植酸的抗炎症作用和对免疫功能的

影响已经动物试验证明,临床观察也获得类" 似效果,其作用可能与腐植酸具有类激素结! 肾上腺的大鼠仍表现出其抗炎作用,而且是 、减弱了作用。

腐植散又是一种多活性悲困的物质,它 含有羟基、羧基、酚羟基、甲氧基等,对细胞的。 生长代谢似有良好作用,增强网状内皮系统。 的看并功能和机体的抗病能力,从而促造病 息的思复。

镇痛作用和机制较复杂,可能与炎症的 消失,水肿的吸收,减轻了对末梢和空的机械 性压迫,而使疼痛得以减轻和消失。也有人推 道,认为腐植酸的止痛作用是通过抑制前列 腺素目的合成,前列腺素 E 是机体炎症和疼 痛的媒介物,增加血管壁和溶酶体的通货件 有类。

3.北京风化煤腐植酸钠药源丰富,价廉。 易取, 未见毒剧作用,治疗方法易于推广。

综上,我们初步认为北京风化煤腐植酸 纳俗作为治疗类风湿性关节炎的方法之一基。 可行的.

(来源:腐植酸,1995,1:17-20)

黄腐酸钠治疗。62例流行性腮腺炎的

临床观察

新训礼 郭淑英 张贝云 (河南省伏阳县两门镇卫生院)

流行性腮腺炎又名痄腮,是山腮腺炎病毒所引起的急性呼吸道传染病。其特征为腮腺的非化脓性肿胀、疼痛伴发热。易发生并发症,延长治愈天数。本病全年均可发病,但以冬春季最多,发病可呈流行性或散发,思者主要为儿童。1993年春季正值腮腺炎流行,笔者应用黄腐酸钠涂剂外敷局部,配合内股温裕治疗62例,疗效满意,现介绍如下。

一、临床资料

△ 52 例中男 34 人,女 28 人,发病以 4~15
 岁为主,其中 4~10 岁 50 人,41~15 岁 8
 人,15 岁以上 4 人,并发睾丸炎 4 人。

二、治疗方法。

外报,黄腐酸钠 5~10 克研为细末, 同芝麻油适量调为糊剂,敷在腮部肿胀处,日敷二次。

内服,3~5岁每次1克,每日3次,饭后温开水冲服,6~10岁每次1.5克,每日3次,饭后温开水冲服;11~15岁每次2克,每日3次,饭后温开水冲服;16岁以上每次3克,每日3次,饭后温开水冲服;16岁以上每次3克,每日3次,饭后温开水冲服。

温浴:并发睾丸炎的用于分之五的黄腐酸钠水溶液 1000 毫升温浴肿大的睾丸,每次30分钟,每日2次。

三、治疗结果

62 例均全部治愈,其中 55 人用药豆天 而愈,其余 7 例用药 6 天而愈。

The state of the state of

。 四、病例介绍

例1、牛某某,女,7岁,安丘村人,于1993年2月21日就诊。三天前因发热、咳嗽、咀嚼时有酸涩感,经用青霉素、氨基比林针等治疗两天,症状加重来就诊、证见:两腮部肿如鸡卵大,皮色光亮,边缘不清,触之腮部灼热胀痛,拒按,咀嚼困难,憎寒壮热,体温38°C,咳嗽、痰黄、舌红、苔薄黄、脉弦数,即按上法用药三天而愈。

例 2, 李某某、男, 15 岁, 桑园村人, 1993 年 3 月 1 日就诊。病已五天, 发热、咳嗽、吐黄痰、头、身疼痛, 两耳下腿部肿胀疼痛, 形如鸡卵, 边缘不清, 拒按, 咀嚼困难, 村卫生所诊为流行性腮腺炎。用青霉素、清热解毒口服液治疗、肿势稍减, 热渐退, 第六日早晨发热、阴囊水肿如鸡卵, 舌红、苔薄黄、脉弦数。按上法用药 6 天而愈。

五、体会

(来源:腐植酸,1995,1:21)

黄腐植酸钠对人离体子宫收缩反应的影响

宋士军 李芳芳* 余晓星 孙 英 程婉珍 (石家庄医学商等专科学校生理教研室)

摘 要

黄腐植酸钠对人离体子宫肌的自发收缩,无钙液中的子宫肌收缩和钙诱发的子宫肌收缩均无显著影响,但明显翻转了氟化镍对人离体子宫收缩反应的抑制作用。结果提示:腐植酸钠可能成为防治镍中毒的有效药物。

黄腐植酸钠(FA)是近年来研究报导较多的药物,作用广泛[1.2.3]且廉价易得,具有极大的潜在应用价值。FA 具有雌激素样作用[1],但对人离体子宫收缩反应的影响尚未见报道。本文研究了FA 对人离体子宫肌收缩活动的影响;着重观察了FA 对镍抑制子宫肌活动的对抗作用;希望为导找防治镍中毒的有效药物提供线索和实验依据。

一、材料与方法

1.药物

FA 按内蒙古石油化工研究所和解放军291 医院提供的制备方法,由华山医院药厂用内蒙古武川风化煤粉提取成 FA 晶体;配成2%水溶液,pH=7.4。NiCl₂(沈阳试剂一厂产品,分析纯,批号860507)配成水溶液。CaCl₂(上海化工厂产品,分析纯,批号860710)配成水溶液。

2. 营养液

按文献^[5]配制 Krebs 液。无钙高钾液,不含 CaCl₂ 并用 80mmolKCl 取代 80mmol NaCl。

人离体子宫肌:取自子宫肌瘤手术切除 之新鲜子宫的宫体腹侧进浆膜层正常肌组织。立即放入冷 Krebs 液内,4℃保存,24h 内 取用,共取得8个子宫标本(年龄40~45岁, 平均 42.83 岁),用时将肌组织按肌纤维走行方向切成 $2\times2\times15$ mm 的肌条,置于含 Krebs 液的浴精内(20ml),加 2g 前负荷,连续通入 95% O_2 和5% CO_2 (37℃±0.5℃,pH7.2~7.5) 平衡后开始实验,连接张力换能器,通过自动平衡记录仪描记子宫收缩活动[6]

二、结果

1. FA 对人离体子宫自发收缩活动的影响

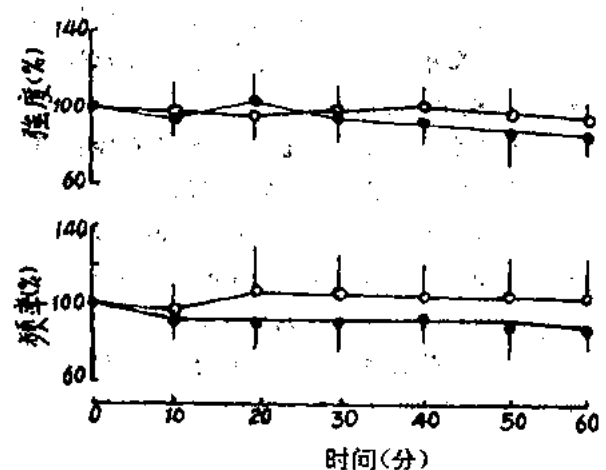
标本平衡 2n 后,弃去不规律收缩标本,如出现规律性自发收缩,FA 组加入 FA 终浓度为 2μg/mi(n=6),对照组加入等容量蒸馏水(n=6);总加入容量不超过溶液量的 1%, 连续记录 1n 子宫收缩反应,计算子宫收缩强度和频率,以给药前 10min 子宫收缩平均强度和频率为 100%。

FA 有降低人离体子宫自发收缩强度和频率的趋势,但各时间的子宫收缩强度和频率与对照组相比均无显著差异(P>0.05、图1)。

2. FA 对无钙液中子宫肌收缩反应的影响

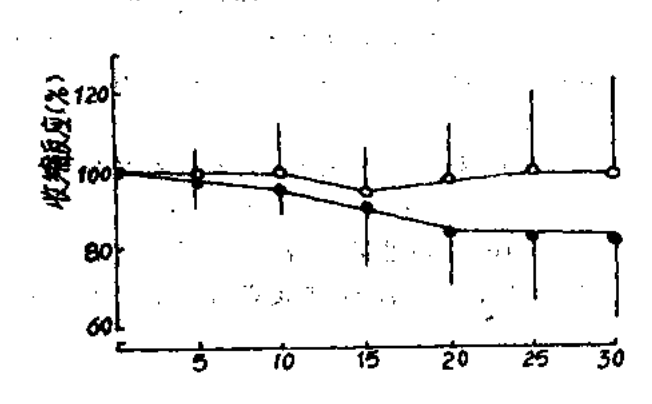
将子宫肌条在无钙高钾液中平衡 1h,取消自发收缩。FA 组(n=8)加入 FA 使终浓度

为 2µg/ml;对照组(n=7))加入等容量蒸馏水。连续记录 30min 子宫收缩反应,计算子宫收缩强度,以给药前子宫收缩幅度为 100%。



P>0.05.图中数据为平均值土标准整。

FA 有降低无钙液中子宫肌收缩幅度的趋势,但各时间的收缩幅度均值与对照组相比无显著差异(P>0.05,图 2)。



时间(分)

图 2 腐植酸钠对无钙液中子宫肌收缩幅度的影响 O---O 对照组(n=7),●---●实验组 加入 FA 24g/ml(n=8),P>0.05。图中数据为平均值土标准差。

3. FA 对 NiCl₂ 抑制人离体子宫肌收缩 反应的影响

将子宫肌条在无钙高钾液中平衡 1h,取消自发收缩,加入 CaCl₂ 0.4mmol 可见子宫 肌条收缩幅度缓慢持续升高;将肌条随机分 为 4 组,各组均为 8 例,分别于加钙后 30min时加入(1)NiCl₂ 组:NiCl₂ 1.6mmol,(2)対照组:等容量蒸馏水,(3)FA 组:FA 2μg/mi(4)NiCl+FA 组:同时加入NiCl₂和 FA 剂量同上,连续记录子宫收缩反应,以加入 CaCl₂后 30min 时子宫收缩幅度为 100%。

3.1. NiCl₂ 组于加药后 5~15min,子官 收缩幅度略升高,但与对照组相比无显著性 差异,于加药后 25 和 30min 时明显抑制了钙 诱发的子官收缩。与对照组相比收缩幅度分 别降低了 65.88%和 85.56%(经方差分析和 q 检验 p 值分别小于 0.05 和 0.01)。

3.2. 同时加入 NiCl₂和 FA 明显翻转了 NiCl₂ 对子宫收缩反应的抑制作用,与 NiCl₂ 组相比 25 和 30min 时分别使子宫收缩幅度 升高 121.25%和 108.37%(经方差分析和 q 检验 p 值均小于 0.01)。

3.3. 单纯加入 FA 对钙诱发的子宫收缩 反应无明显影响。(图 3)

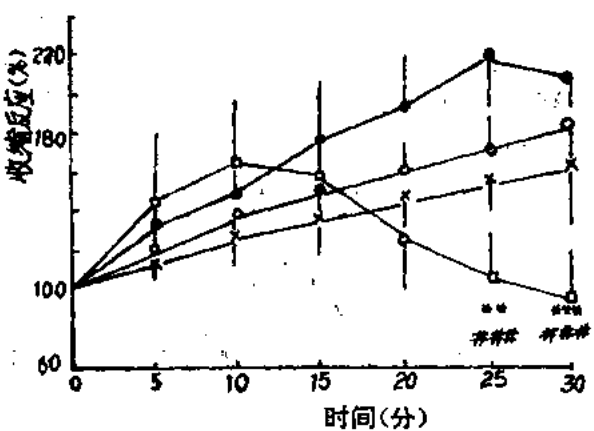


图 3 腐植酸钠对 NiCl₂ 抑制人离体子宫肌收缩反应的影响

□---□ NiCl₂组 ¡NiCl₂ 1.6mmol(n=8) ∪---O 対照组 : 等容量蒸馏水(n=8)

×---×FA 组:腐植酸钠 2μg/mi(n=8)

●一一一●NiCl₂+FA 组;同时加入腐植酸钠和NiCl₂剂量同上(n=8)

□与 0 相比 * p<0.05.* * p<0.01, • 与□相 比###p<0.01,图中数据为平均值±标准差。

三、讨论

单纯给予 FA (2μg/ml)对人离体子宫肌的自发收缩,无钙液中的子宫肌收缩和钙诱

发的子宫肌收缩均无显著影响;但 FA 明显 翻转了镍对人离体子宫肌收缩反应的抑制作 用。

广泛的研究表明,血清中镍水平与烧伤、肝病和心肌缺血等多种疾病有关,亦对心肌细胞等具有毒性作用[7]。锰、镍、钴等二价阳离子可干扰 Ca²+的跨膜运动[8],据此推测镍抑制子宫收缩反应的机制可能是通过拮抗钙实现的;FA 明显翻转了镍对子宫肌的抑制作用可能由于 FA 的酸性基团有较强的络合力和螯合力,能与多种金属离子及毒性物质结合;FA 与镍结合故对抗了镍对人离体子宫的抑制作用。

众所周知, Ca²+对平滑肌收缩是必须的[9], 子宫肌的收缩反应按 Ca²+的来源不同又可分为依细胞内 Ca²+性收缩,即 Ca²+贮库释放 Ca²+引起收缩; 和依细胞外 Ca²+性收缩,即细胞外液中的 Ca²+跨膜内流引起收缩两种成分[10]。本实验表明, FA 对无 Ca²+液中的子宫收缩和 Ca²+诱发的子宫收缩均无显著影响,据此推测, FA 不能诱发内 Ca²+释放导致依内 Ca²+性收缩, 水不能显著影响依细胞外 Ca²+性收缩。

FA 能否对抗镍对其它器官的毒性作用 及对抗机制尚待进一步研究。结果揭示:FA 可能成为防治镍中毒的有效药物。

参考文献

(1)王德民等,不同种类的腐植酸对大鼠

胃酸分泌和胃泌素释放的影响,北京医科大学学报,1986:18(3):211

- (2)朱新生等,黄腐酸钠 289 例与雪尼替 丁 50 例疗效观察比较,腐植酸,1991:1:49
- (3)崔银章等,黄腐酸钠治疗流行性出血 热疗效观察,腐植酸,1991;1:53
- (4)孟渝梅等,腐植酸钠雌激素样作用的初步探讨,山西医药杂志,1985;14(2):75
- (5) Forman A, et al. Relaxant effects of nifedipine on isolated, human myometrium. Acta Pharmacol Toxicol 1979; 45 81
- (6) 李芳芳等,间尼索地平与尼索地平对 离体子宫肌的作用,中国药理学报,1992;13 (1):59
- (7)G. Rubanyi, et al. Effect of Nickel Ions on Ultrastructure of Isolated perfused Rat Heart. Journal of Molecular and Celiular Cardiology 1980:12:609
- (8) Pieter A, et al; Functional Interaction between Calcium Antagonists and The vasoconstrication Induced by The stimulation of postsynaptic α₂—Adrenoceptors. Circ Res 1983; 52(suppl. I); 77
- (9)薛沿宁,周廷冲,钙与细胞功能的调节,生理科学进展 1988;19(4),328
- (10) 姚伟星等,粉防已减对大鼠腐体子宫收缩反应的影响,中国药理学报 1983;4 (2):130

(来源: 腐植酸, 1995, 1: 14-16)

腐植酸和自由基与地方病

I 乌脚病、砷中毒、碘 缺乏病与腐植酸和自由基

郑宝山 余孝颖 吕锋州' 刘聪桂' 邢春茂' 孙天志。 马恒之。 黎秉铭 邹申清 张 干'王 学 夏雅娟。

(中国科学院地球化学研究所)

在对碘缺乏病的研究中早已发现,在 泥碳和沼泽地区,尽管环境中不缺少碘, 但由于大量的腐植酸将碘牢固地结合,以 至人体得不到充足的碘供应,造成碱缺实 病的流行[1]。 王景等人通过动物实验 证实,在剂量为每日每kg体重50 mg 黄腐酸时,实验动物耗氧量下降,甲状腺出现 类似地方性甲状腺肿样变化,说明在体内腐植酸也可以抑制碘发挥正常生理作用,而且腐植酸本身也可能是一种致甲状腺肿物质[2]。

乌脚病是台湾西南沿海地区特有的一种末梢血管疾病,老的流行区在台南县学甲镇和北门乡、嘉义县布袋镇和义竹乡,1985年前在这4个乡镇先后发病1220例,已死亡782人。新的流行区在嘉义县、台南市、屏东县、高雄县和高雄市的一些乡镇,到1985年共发病416人。乌脚病的病患有97.7%发生在下肢,最初患肢端发麻、发冷、间歇性跛行,继而发展为患处剧烈疼痛,形成溃疡和坏疽。发生坏疽的病例有40%在4个月内患肢部分自然脱落。截肢是最主要的治疗手段。在1143例截肢手术后,有820例治愈,69例病情加重死亡。有266例截肢后病情向上发展,以至必须

再次截肢。据调查乌脚病人都有饮用承压自流井水的历史。台湾学者先后发现井水中神含量偏高和有机荧光物偏高,因此形成乌脚病的砷中毒和有机荧光物中毒学说两者都有一些流行病学和动物实验的证据,但真正病因至今不明[3-5]。

1975年现任台湾大学生物化学研究所 所长的吕锋州教授发现,乌脚病区井水在 紫外光灯照射下发出蓝绿色荧光,井水荧 光强度越高,饮用井水村民的乌脚病病情 越重^[6]。

1977年吕锋州使用阴离子交换树脂提取水中荧光物质,将其稀释注入种蛋孵化后发现幼鸡出现畸形和死亡,剂量越大,危害越重^[7]。

1980年吕锋州研究了荧光物质对人类 末梢血液中淋巴细胞染色体的影响,发现 荧光物质对细胞分裂有抑制作用并能诱导 染色体迷乱 [8-10]。

1979年和1986年使用乌脚病区并水中 荧光物质对老鼠进行试验,发现毒性甚高, 小白鼠经22~32天连续注射染毒后,其中 8只出现跛行,脚趾变黑,四肢肿大,溃 烂和坏疽, 症状与乌脚病相似[[[-1-12]]。

1986年发现病区井水的荧光物质与膀胱癌发病率呈正相关[18]。在对荧光物质的成分进行研究,1977年使用薄层色层、紫外光谱、荧光光谱分析方法在荧光物中

¹ 台灣大学

² 内蒙古自治区地方病防治办公室

³ 内蒙古自治区域方病防治研究所

⁴ 中科院广州地质新技术研究所

中3种为有机氦化物^[15]。1982年使用高效液相色谱发现荧光物中含有麦角胺^[16]。 1987年使用气相层析质谱仪又在荧光物中发现辟瘟酸脂^[17]。

1988年将病区井水中提出的荧光物质 分离成 S₁、S₂、S₃ 3 种水溶性组分 和S₄ 1 种醇溶性组分。使用等离子体发射光谱测定了它们的元素组成。使用原子吸收发现 4 种荧光物都含有较高的砷,其中S₁含砷高达3019pp m。使用电子自旋共振谱仪发现荧光物中有自由基。使用离子色谱质谱对荧光物的官能团进行了分析,最后的结论是此种荧光物质是腐植酸 [18]。

如前所述[19], 腐植酸是一种外源性 自由基物质、乌脚病区流行病学的特征显 示有自由基的危害作用, 因此腐植酸可能 是重要的致病因子之一。自由基与生物膜 上不饱和脂肪酸作用生成脂质过氧化物, 它可以抑制Prostacycline symthetase 活性, 造成血管栓塞, 导致血管病变, 脂质过氧化物还与糖尿病、脑中风、视网 膜病等有关。乌脚病正是一种以四肢特别 是下肢微血管栓塞为特征的地方病。自由 基的某些代谢物具有致突变性, 自由基可 以活化致癌物质如多环芳烃、偶 氦 化 合 物、芳香基胺等,最终诱发癌症。乌脚病 区膀胱癌、皮肤癌等疾病发病率确实高于 对照区。腐植酸可以与环境中的碘结合致 使人患碘缺乏性疾病, 乌脚病区甲状腺肿 发病率也确实比较高。腐植酸是一种大分 子多官能团的复杂化合物,具有强烈的鳌 合能力,它的某些官能团与砷结合形成砷. 腐植酸,其毒性可能比单纯的腐植酸更大。 在这些方面有关的研究正在进行之中。

在腐植酸与砷中毒、乌脚病有关的研究上还在现存在这样一些问题。

- (2)不同的腐植酸表现出不同的健康效应。腐植酸的差别主要决定于其生成时地球化学条件,这些条件首先是环境水热条件,其次是腐植化过程完成的程度,最后则决定于腐植酸形成的界质含水层、沉积物或土壤中各种化学元素的种类、含量及存在状态。以上问题的研究可称为腐植酸的环境地球化学、这一领域的研究在我国才刚刚开始。许多基本的问题还有待进一步解决。
- (3)腐植酸在不同疾病中的致病机理不明。它既可能是通过抑制、拮抗保护性因子致病也可以作为致病因子而直接致病,在乌脚病的问题上也一样。砷同腐植酸在致病作用上的关系有待研究。
- (4)就我们对内蒙和台湾病区的考察来看,水中的砷与腐植酸之间有成因上的联系。有机物被掩埋后腐殖化的过程是水中砷富集的重要条件,因此相当一部分高砷地下水必然高腐植酸,但是世界各国砷中毒病区中具在台湾出现乌脚症,这是腐植酸致乌脚病理论难以解释的。

1988年以来在内蒙古一些地区相继发现高砷地下水引起的地方性砷中毒[20]。 1993年我们与台湾学者合作对内蒙砷病区进行了考察,考察中发现内蒙许多高砷地下水的荧光强度很高,个别样品在稀释 8 倍后荧光强度仍超过台湾乌脚病区荧光强度最高的并水。尽管这只是一个半定量的结果,但这是在台湾之外的世界上首先在高砷地下水中发现荧光腐植物质。在此后进行的室内分析工作的基础上,正式论文即将发表[5]。

这一发现具有重大的理论意义和实际 意义。如果乌脚病的腐植酸病因理论是正 硫的话,内蒙古部分地区饮水中砷、荧光 物质含量都比台湾乌脚病区高,内蒙就会 有乌脚病出现。由于乌脚病的平均发病时 间是20年,而内蒙饮用高砷地下水的时间 还不到10年,现在只是尚未发病而已。乌 脚病危害极大,病人极为痛苦,目前只有 截肢, 部分病人截肢后还会复发。病人自 发病起平均生存时间仅有10年。我们必须 立即动手全面改水以防止这种局面出现。 如果大陆最终没有乌脚病出现,那么可能 是内蒙古和台湾饮水中腐植酸的结构、构 齿、毒性不同,不同腐 植 酸 上的结合物 的种类、结合位置和结合方式不同造成的, 也可能还有其它未知的致病因子。我们的 工作不能寄希望于后一种情况的出现,我 们现在就应该着手这一研究,尽早为有关 部门决策提供依据。台湾地域狭小,由于 缺乏对照区,乌脚病的研究难于进一步深 入,大陆内蒙古、新疆的饮水型砷中毒病区 和贵州高砷煤型砷中毒病区是极好的对照 区。海峡两岸科学工作者的合作,有可能 解决乌脚病病因这个世界医学之迷,造福 于全体炎黄子孙。

参 考 文 献

- 马秦,等. 地方甲状腺肿与地方克汀病. 第1 版,北京:人民卫生出版社,1981;48~54
- 2 王景贵,李 彦. 泥炭属植酸对大鼠甲状腺肿的影响及其与碘结合的实验研究. 中国地方病防治杂志。1987; 2 (3): 168
- 3 商聪明,高士荣.考察特发性脱疽的原因.台湾医学会杂志,民国43年;53;272
- 4 中国医学百科全书编辑委员会,中国医学百科全书 (地方病学),第1版,上海,上海科学技术出版 社,1985
- 5 郑宝山, 海峡两岸合作研究乌脚纲和地方性砷中毒,中国地方病学杂志,1994;13(1):62
- 6 吕锋州,等。嘉南乌脚病患区饮用地下水之理化特征。台湾医学杂志,民国64年;74:598
- 7 吕锋州,等。乌脚病地区饮水中荧光物质之研究。 第1报、鸡胚胎毒性实验。台湾医学会杂志,民国 66年;76:58
- 8 Jan I. R, Chen J. Y, Lu F. J Ling K. H. Studies on fluorescent compounds in drin_

- king Water on Blackfoot diseas; endemic areas, 4. The cytoxic effect of flurescent com pounds on cell cultures. J. Formosan Med. Assoc 1978; 77: 361
- 9 Cnen J. Y. Lu F. J. Lin K., H. Studies on Fluorescent compounds in drinking water of Blackfoot disease endemic area, 5. Effect of fluorescent compounds on protein and nucleic acid synthesis in growing Hela cells. Chinese J. Microbiol, 1977; 10: 115
- 10 Lu F. J, Tsai S. C, Cnen J. Y. Studies on natural toxicants occurring in artesian well Water of Blackfoot disease endemic areasin Taiwan Chromosome aberratians in cultured lymphocytes exposed to fluorescentcompounds, 1980; 9: 49
- 11 吕锋州,林国煌。乌脚病则区饮水中荧光物质之研究,6.末梢血管病变之动物实验(預报)。台灣 医学会杂志,民国75年: 85: 352
- 12 吕锋州, 刘东明. 乌脚病患区饮水中荧光物质动物 实验模式, 台湾医学会杂志, 民国75年; 85, 857
- 13 吕锋州,等.乌胸病地区膀胱癌流行病学调查报告。 第5报. 并水荧光蛋度与膀胱癌发病率的关系. 中 华癌症医学杂志,民国75年; 2:14
- 14 目锋州,等、乌脚病地区饮水中荧光物质之研究; 荧光物质之分离与鉴定。台湾医学会杂末,民国67 年;77:68~76
- 15 吕锋州,等、乌脚病地区饮用井水中所含有机物质之鉴定、台灣乌脚病防治研究小组、乌脚病之研究 报告第8 辑,民国69年
- 16 吕锋洲,等、乌脚病患区井水中荧光物质之研究: 井水内含麦角胺、台湾医学会杂志, 民國71年; 81,1087
- 17 吕锋洲,等。乌牌扇惠区某一并水中的化学致癌物质; 辟瘟酸脂,台湾医学会杂志,民国76年; 86:734
- 18 吕锋湖,等,台湾乌胸病患区一口井水荧光物质之研究。属植物质,台湾医学会会杂志,民国77年; 87:66
- 19 郑宝山,等、廣植酸、自由基与地方性疾病、「· 克山病大骨节病与腐植酸和自由基、内蒙古地方病 防治研究,1994,19(4):180
- 20 武克恭, 等。内蒙古自治区地方性砷中毒流行现状 调查报告。内蒙古地方病防治研究, 18(1). 18

(1994年5月5日收稿)

(来源:内蒙古地方病防治研究,1995,1:3)

黄腐植酸钠对土鼠胸腺、脾脏和 淋巴结形态与重量影响研究

苏秉文 那翠芬 梁元珍 (北京市斯淀医院)

近年来腐植酸类制剂应用于临床某些免疫性疾患已有报道,我院用其治疗类风湿关节炎、慢性非特异性结肠炎、慢性湿疹也收到一定疗效。为了进一步确定黄腐植酸钠对免疫器官的影响与作用,本实验采用了动物解药形态学及重量方法进行观察,并与生理盐水空白对照比较,初步结果如下:

一、材料与方法

我院于1987~1989年,选择中国科学院动物研究所提供的美国8D封闭型健康椎性大鼠225只,在本院动物室正常喂养一周后,随机分为黄腐植酸组幼、中、老三组,生理盐水组幼、中、老三组,空白对照组幼、中、老三组,每组幼年大鼠30只,中年大鼠30只,老年大鼠15只,随各组年龄增加依次分别给药时间增长,幼年给10天药,成年给20天药,

老年给30天药。观察期满 禁食24小时用脱颈法处死动物、解离胸腺、脾脏和淋巴结,将剖离物再在生理盐水平皿中剥净除去附带组织,观察外观形态记录后用滤纸吸干水份,在分析天平称重后,即将所观察组织用10%中性甲醛液固定送检病理、电镜与细胞室继续检测,本实验给药法是腹腔注射法,各年龄黄腐植酸钠组给药剂量为20mg/kg/日。生理盐水组给同等量生理盐水。空白组正常喂养至剖离期。

二、观察结果

三组大鼠实验数量与给药时间与方法, 见表 1。

三组实验大鼠观察结果见表 2,本实验 观察大鼠体重与其脑腺、脾脏、淋巴结的重量,其重量是经滤纸吸附后 2 小时称重的。

4 П (b)	F9 * #	实验天数/只 给药剂			给药剂量			给药时间	
组别	鼠数	10	20	30	FA	NaCl	空白	Dρ/QD	
幼年组	90	30	30	30	20mg/kg	8ml/lkg		腹腔注射/每天	
中年组	90	30	30	30	20mg/kg	8m1/1kg		腹腔注射/每天	
老年组	45	15	15	15	20mg/kg	8mi/lkg		腹腔注射/每天	

表 1 各组大鼠数量与给药时间、方法

求	2	多细	周顗	与哭惨的	重量比较
	~	TT SH	KKL.	— J K A G. 5	22 SEF [.1.2Y

∌n til	64 M		鼠重	胸腺	脾脏	淋巴结
组别	鼠数		$\bar{X}\pm SD(\%)$	X±sd(%)	菜±sd(%)	X±SD(%)
FA 组	幼	90	56. 47 ± 9. 01	0.56 ± 0.06	0.51±0.06	20. 55±5. 85
	中	90	1 23.95±18. 89	0.61 ± 0.06	0.54 ± 0.10	47. 42±14. 51
	老	45	401.10 ± 6.60	0.40±0.05	0.82 ± 0.08	56, 46 ± 40, 21
生理盐水	幼	90	-48.16 ± 11.61	0.46 ± 0.05	0.58 ± 0.07	18. 21 ± 3.81
	中	90	115.75 ± 9.55	0.52 ± 0.04	0.42 ± 0.05	25. 95±5. 38
	老	45	459.51±9.53	0.42 ± 0.03	0.80±0.04	45. 67 ± 12 . 52
空白纽	幼	45	45.16±2.92	0.43±0.09	0.45±0.08	
	中	. 45	58. 25 ± 4.02	0.45 ± 0.07	0.39 ± 0.02	•
	老	23	446.33±10.93	0.35±0.02	0.77 ± 0.11	

通过表 2 看出,FA 组胸腺重量与生理 盐水组相比,经统计学处理,差异有非常显著 性 P<0.01 与空白对照组相比 P<0.01,提示FA 有使大鼠各年龄组胸腺重量增加。

三组实验大鼠通过解剖形态学观察 未发现胸腺、脾脏、淋巴结形态的充血、水肿、变性与肿物改变。

三、体会

本文观察所获证实经黄腐植酸钠实验的 各大鼠组,通过解剖形态学观察,未发现胸 腺、脾脏、淋巴结形态的充血、水肿、变性与肿物改变,黄腐植酸钠组胸腺重量与生理盐水组和空白对照组比,经统计学处理,差异有明显性,P<0.01,从而看出,黄腐植酸钠初步有使大鼠胸腺增重的作用。作者指出:本次实验由于动物量太大,在20天观察组中,发现个别大鼠体重与给药量不符,准备重复本组实验,以便得出确切结论。

(来源: 腐植酸, 1995, 2: 28-29)